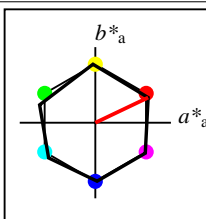


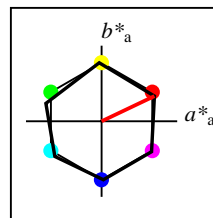
%Umfang
 $u^*_{rel} = 100$
%Regularität
 $g^*_{H,rel} = 78$
 $g^*_{C,rel} = 100$

NRS18	$L^*=L^*_a$	a^*_a	b^*_a	$C^*_{ab,a}$	$h^*_{ab,a}$
O _M	56.71	69.87	33.29	77.4	25
Y _M	56.71	-3.1	77.34	77.4	92
L _M	56.71	-73.68	23.63	77.39	162
C _M	56.71	-61.81	-46.54	77.39	217
V _M	56.71	2.35	-77.34	77.39	272
M _M	56.71	66.07	-40.3	77.4	329
N _M	18.01	0.0	0.0	0.0	0
W _M	95.41	0.0	0.0	0.0	0
R _{CIE}	39.92	58.74	27.99	65.07	25
J _{CIE}	81.26	-2.88	71.56	71.62	92
G _{CIE}	52.23	-42.41	13.6	44.55	162
B _{CIE}	30.57	1.41	-46.46	46.49	272



%Umfang
 $u^*_{rel} = 100$
%Regularität
 $g^*_{H,rel} = 78$
 $g^*_{C,rel} = 100$

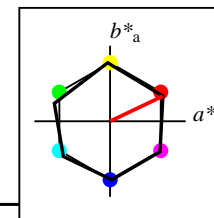
NRS18a; adaptierte CIELAB-Daten	$L^*=L^*_a$	a^*_a	b^*_a	$C^*_{ab,a}$	$h^*_{ab,a}$
O _{Ma}	56.71	69.87	33.29	77.4	25
Y _{Ma}	56.71	-3.1	77.34	77.4	92
L _{Ma}	56.71	-73.68	23.63	77.39	162
C _{Ma}	56.71	-61.81	-46.54	77.39	217
V _{Ma}	56.71	2.35	-77.34	77.39	272
M _{Ma}	56.71	66.07	-40.3	77.4	329
N _{Ma}	18.01	0.0	0.0	0.0	0
W _{Ma}	95.41	0.0	0.0	0.0	0
R _{CIE}	39.92	58.74	27.99	65.07	25
J _{CIE}	81.26	-2.88	71.56	71.62	92
G _{CIE}	52.23	-42.41	13.6	44.55	162
B _{CIE}	30.57	1.41	-46.46	46.49	272



%Umfang
 $u^*_{rel} = 100$
%Regularität
 $g^*_{H,rel} = 78$
 $g^*_{C,rel} = 100$

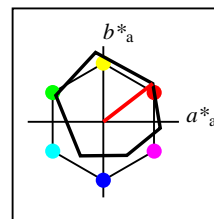
NRS18a; adaptierte CIELAB-Daten	$L^*=L^*_a$	a^*_a	b^*_a	$C^*_{ab,a}$	$h^*_{ab,a}$
O _{Ma}	56.71	69.87	33.29	77.4	25
Y _{Ma}	56.71	-3.1	77.34	77.4	92
L _{Ma}	56.71	-73.68	23.63	77.39	162
C _{Ma}	56.71	-61.81	-46.54	77.39	217
V _{Ma}	56.71	2.35	-77.34	77.39	272
M _{Ma}	56.71	66.07	-40.3	77.4	329
N _{Ma}	18.01	0.0	0.0	0.0	0
W _{Ma}	95.41	0.0	0.0	0.0	0
R _{CIE}	39.92	58.74	27.99	65.07	25
J _{CIE}	81.26	-2.88	71.56	71.62	92
G _{CIE}	52.23	-42.41	13.6	44.55	162
B _{CIE}	30.57	1.41	-46.46	46.49	272

Workflow-Wahlen
für Farbmuster:
1. keine Farbänderung
2. Buntton-Änderung
3. Buntheits-Änderung



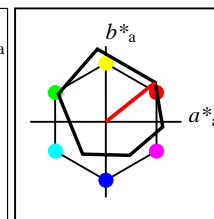
%Umfang
 $u^*_{rel} = 100$
%Regularität
 $g^*_{H,rel} = 78$
 $g^*_{C,rel} = 100$

NRS18a; adaptierte CIELAB-Daten	$L^*=L^*_a$	a^*_a	b^*_a	$C^*_{ab,a}$	$h^*_{ab,a}$
O _{Ma}	56.71	69.87	33.29	77.4	25
Y _{Ma}	56.71	-3.1	77.34	77.4	92
L _{Ma}	56.71	-73.68	23.63	77.39	162
C _{Ma}	56.71	-61.81	-46.54	77.39	217
V _{Ma}	56.71	2.35	-77.34	77.39	272
M _{Ma}	56.71	66.07	-40.3	77.4	329
N _{Ma}	18.01	0.0	0.0	0.0	0
W _{Ma}	95.41	0.0	0.0	0.0	0
R _{CIE}	39.92	58.74	27.99	65.07	25
J _{CIE}	81.26	-2.88	71.56	71.62	92
G _{CIE}	52.23	-42.41	13.6	44.55	162
B _{CIE}	30.57	1.41	-46.46	46.49	272



%Umfang
 $u^*_{rel} = 93$
%Regularität
 $g^*_{H,rel} = 57$
 $g^*_{C,rel} = 59$

ORS18a; adaptierte CIELAB-Daten	$L^*=L^*_a$	a^*_a	b^*_a	$C^*_{ab,a}$	$h^*_{ab,a}$
O _{Ma}	47.94	65.39	50.52	82.63	38
Y _{Ma}	90.37	-10.26	91.75	92.32	96
L _{Ma}	50.9	-62.83	34.96	71.91	151
C _{Ma}	58.62	-30.34	-45.01	54.3	236
V _{Ma}	25.72	31.1	-44.4	54.22	305
M _{Ma}	48.13	75.28	-8.36	75.74	354
N _{Ma}	18.01	0.0	0.0	0.0	0
W _{Ma}	95.41	0.0	0.0	0.0	0
R _{CIE}	39.92	58.66	26.98	64.57	25
J _{CIE}	81.26	-2.16	67.76	67.79	92
G _{CIE}	52.23	-42.25	11.76	43.87	164
B _{CIE}	30.57	1.15	-46.84	46.86	271



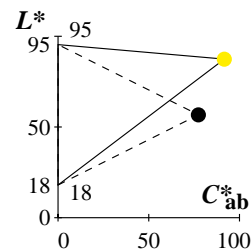
%Umfang
 $u^*_{rel} = 94$
%Regularität
 $g^*_{H,rel} = 58$
 $g^*_{C,rel} = 54$

ORS18	$L^*=L^*_a$	a^*_a	b^*_a	$C^*_{ab,a}$	$h^*_{ab,a}$
O _M	47.94	65.31	52.07	83.53	39
Y _M	90.37	-11.15	96.17	96.82	97
L _M	50.9	-62.96	36.71	72.89	150
C _M	58.62	-30.62	-42.74	52.59	234
V _M	25.72	31.45	-44.35	54.38	305
M _M	48.13	75.2	-6.79	75.51	355
N _M	18.01	0.5	-0.46	0.69	317
W _M	95.41	-0.98	4.76	4.86	102
R _{CIE}	39.92	58.74	27.99	65.07	25
J _{CIE}	81.26	-2.88	71.56	71.62	92
G _{CIE}	52.23	-42.41	13.6	44.55	162
B _{CIE}	30.57	1.41	-46.46	46.49	272

Relatives CIELAB-Buntheitsdiagramm: ($a_R^* = lab^*a$, $b_R^* = lab^*b$) und absolutes CIELAB Bunttondreiecks-Diagramm: (L^* , C_{ab}^*) für Ein- (---) und Ausgabe (----) NRS18: Eingabe (i) Farbmatrik-Sytem; Sechs Bunttonwinkel des Farbgerätes: (25.5, 92.3, 162.2, 217.0, 271.7, 328.6); Vier Bunttonwinkel der Elementarfarben: (25.5, 92.3, 162.2, 271.7)
ORS18: Ausgabe (o) Farbmatrik-Sytem; Sechs Bunttonwinkel des Farbgerätes: (37.7, 96.4, 150.9, 236.0, 305.0, 353.7); Vier Bunttonwinkel der Elementarfarben: (24.7, 91.8, 164.5, 271.4)

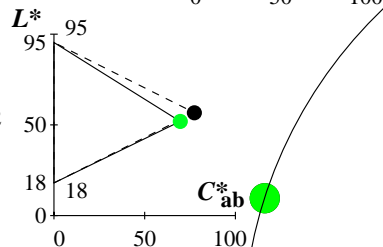
Y Gelb

olv3Mi = 1.0 1.0 0.0
olv3Mo = 1.0 0.93 0.0
LCHMi = 56.7 77.4 92
LCHo = 87.4 91.6 92
tchMi = 0.5 1.0 0.256
tchMo = 0.5 1.0 0.256



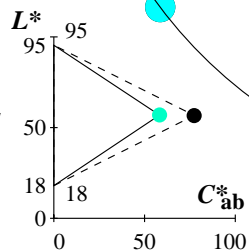
L Laubgrün

olv3Mi = 0.0 1.0 0.0
olv3Mo = 0.0 1.0 0.133
LCHMi = 56.7 77.4 162
LCHo = 51.9 69.6 162
tchMi = 0.5 1.0 0.451
tchMo = 0.5 1.0 0.451



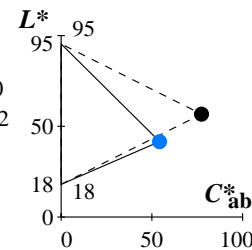
C Cyanblau

olv3Mi = 0.0 1.0 1.0
olv3Mo = 0.0 1.0 0.776
LCHMi = 56.7 77.4 217
LCHo = 56.9 58.2 217
tchMi = 0.5 1.0 0.603
tchMo = 0.5 1.0 0.603



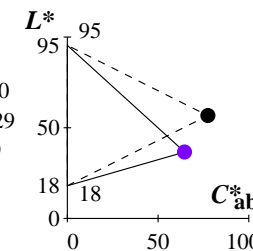
V Violettblau

olv3Mi = 0.0 0.0 1.0
olv3Mo = 0.0 0.482 1.0
LCHMi = 56.7 77.4 272
LCHo = 41.6 54.3 272
tchMi = 0.5 1.0 0.755
tchMo = 0.5 1.0 0.755



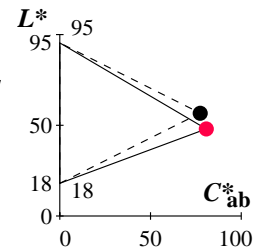
M Magentarot

olv3Mi = 1.0 0.0 1.0
olv3Mo = 0.485 0.0 1.0
LCHMi = 56.7 77.4 329
LCHo = 36.6 64.7 329
tchMi = 0.5 1.0 0.913
tchMo = 0.5 1.0 0.913



O Orangerot

olv3Mi = 1.0 0.0 0.0
olv3Mo = 1.0 0.0 0.277
LCHMi = 56.7 77.4 25
LCHo = 48.0 80.7 25
tchMi = 0.5 1.0 0.071
tchMo = 0.5 1.0 0.071



Keine Bunttonänderung der Ausgabefarbe M

Keine relative Buntheitsänderung der Ausgabefarbe M

Relatives CIELAB-Buntheitsdiagramm: ($a_R^* = lab^*a$, $b_R^* = lab^*b$) und absolutes CIELAB Bunttondreiecks-Diagramm: (L^* , C_{ab}^*) für Ein- (---) und Ausgabe (----) NRS18: Eingabe (i) Farbmatrik-Sytem; Sechs Bunttonwinkel des Farbgerätes: (25.5, 92.3, 162.2, 217.0, 271.7, 328.6); Vier Bunttonwinkel der Elementarfarben: (25.5, 92.3, 162.2, 271.7)
ORS18: Ausgabe (o) Farbmatrik-Sytem; Sechs Bunttonwinkel des Farbgerätes: (37.7, 96.4, 150.9, 236.0, 305.0, 353.7); Vier Bunttonwinkel der Elementarfarben: (24.7, 91.8, 164.5, 271.4)

Y Gelb

$olv3Mi = 1.0 \ 1.0 \ 0.0$
 $olv3Mo = 0.891 \ 1.0 \ 0.0$
 $LCHMi = 56.7 \ 77.4 \ 92$
 $LCHo = 86.1 \ 90.1 \ 102$
 $tchMi = 0.5 \ 1.0 \ 0.256$
 $tchMo = 0.5 \ 1.0 \ 0.284$

L Laubgrün

$olv3Mi = 0.0 \ 1.0 \ 0.0$
 $olv3Mo = 0.0 \ 1.0 \ 0.25$
 $LCHMi = 56.7 \ 77.4 \ 162$
 $LCHo = 52.8 \ 67.5 \ 172$
 $tchMi = 0.5 \ 1.0 \ 0.451$
 $tchMo = 0.5 \ 1.0 \ 0.478$

C Cyanblau

$olv3Mi = 0.0 \ 1.0 \ 1.0$
 $olv3Mo = 0.0 \ 1.0 \ 0.894$
 $LCHMi = 56.7 \ 77.4 \ 217$
 $LCHo = 57.8 \ 56.2 \ 227$
 $tchMi = 0.5 \ 1.0 \ 0.603$
 $tchMo = 0.5 \ 1.0 \ 0.631$

V Violettblau

$olv3Mi = 0.0 \ 0.0 \ 1.0$
 $olv3Mo = 0.0 \ 0.337 \ 1.0$
 $LCHMi = 56.7 \ 77.4 \ 272$
 $LCHo = 36.8 \ 54.2 \ 282$
 $tchMi = 0.5 \ 1.0 \ 0.755$
 $tchMo = 0.5 \ 1.0 \ 0.783$

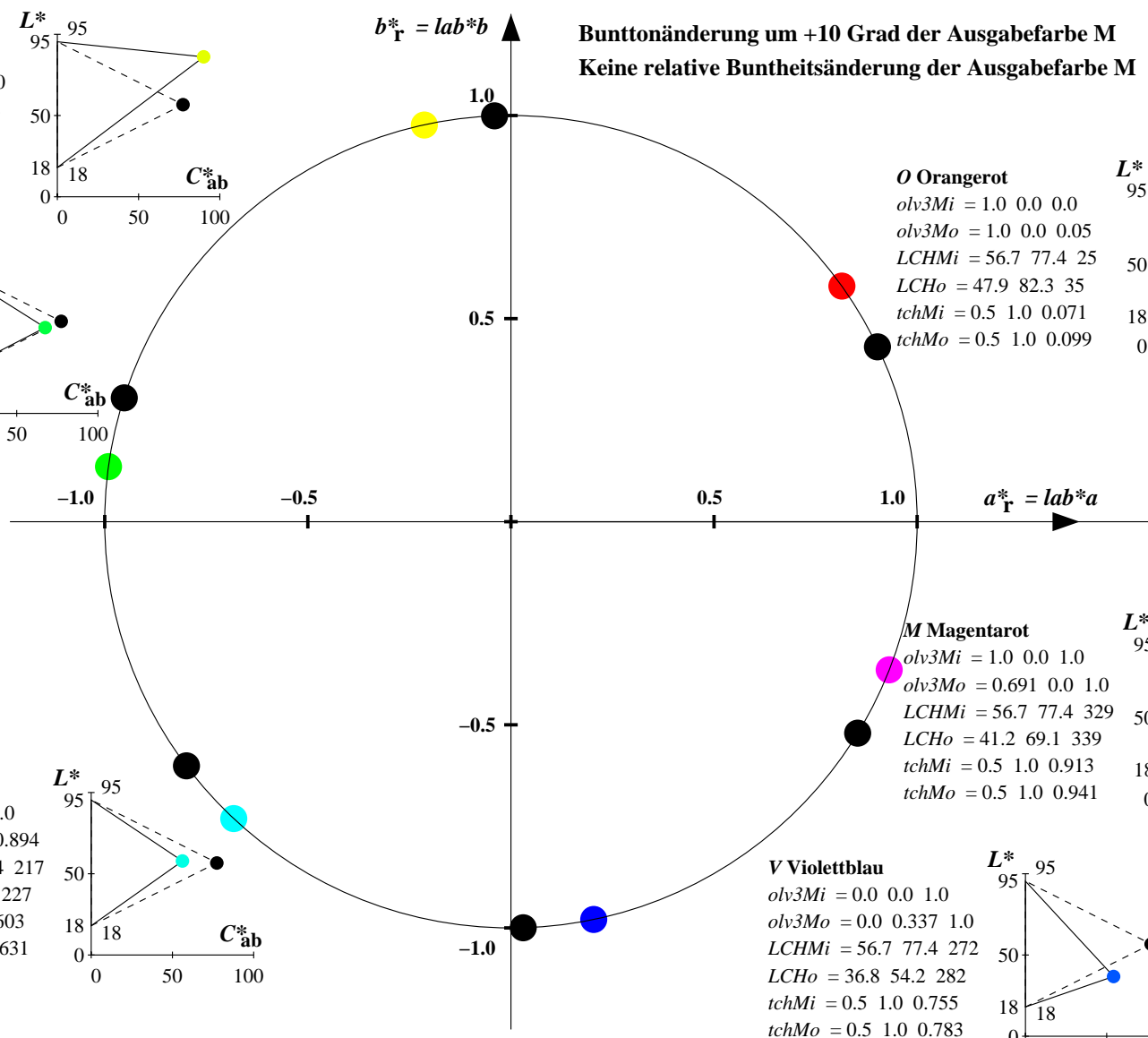
M Magentarot

$olv3Mi = 1.0 \ 0.0 \ 1.0$
 $olv3Mo = 0.691 \ 0.0 \ 1.0$
 $LCHMi = 56.7 \ 77.4 \ 329$
 $LCHo = 41.2 \ 69.1 \ 339$
 $tchMi = 0.5 \ 1.0 \ 0.913$
 $tchMo = 0.5 \ 1.0 \ 0.941$

O Orangerot

$olv3Mi = 1.0 \ 0.0 \ 0.0$
 $olv3Mo = 1.0 \ 0.0 \ 0.05$
 $LCHMi = 56.7 \ 77.4 \ 25$
 $LCHo = 47.9 \ 82.3 \ 35$
 $tchMi = 0.5 \ 1.0 \ 0.071$
 $tchMo = 0.5 \ 1.0 \ 0.099$

Bunttonänderung um +10 Grad der Ausgabefarbe M
Keine relative Buntheitsänderung der Ausgabefarbe M



Siehe ähnliche Dateien: <http://www.ps.bam.de/YG65/>
Technische Information: <http://www.ps.bam.de> Version 2.1, io=1,1

BAM-Registrierung: 20061101-YG65/10L/L65G50NP.PS/.PDF BAM-Material: Code=rh4ta
Anwendung für Beurteilung und Messung von Drucker- oder Monitorsystemen
/YG65/ Form: 3/8, Serie: 1/1, Seite: 3
Seite 3 von 1

Relatives CIELAB-Buntheitsdiagramm: ($a_R^* = lab^*a$, $b_R^* = lab^*b$) und absolutes CIELAB Bunttondreiecks-Diagramm: (L^* , C_{ab}^*) für Ein- (---) und Ausgabe (----) NRS18: Eingabe (i) Farbmatrik-Sytem; Sechs Bunttonwinkel des Farbgerätes: (25.5, 92.3, 162.2, 217.0, 271.7, 328.6); Vier Bunttonwinkel der Elementarfarben: (25.5, 92.3, 162.2, 271.7)
ORS18: Ausgabe (o) Farbmatrik-Sytem; Sechs Bunttonwinkel des Farbgerätes: (37.7, 96.4, 150.9, 236.0, 305.0, 353.7); Vier Bunttonwinkel der Elementarfarben: (24.7, 91.8, 164.5, 271.4)

Y Gelb

olv3Mi = 1.0 1.0 0.0
olv3Mo = 0.75 0.715 0.25
LCHMi = 56.7 77.4 92
LCHo = 67.6 45.8 92
tchMi = 0.5 1.0 0.256
tchMo = 0.5 0.5 0.256

L Laubgrün

olv3Mi = 0.0 1.0 0.0
olv3Mo = 0.25 0.75 0.316
LCHMi = 56.7 77.4 162
LCHo = 49.8 34.8 162
tchMi = 0.5 1.0 0.451
tchMo = 0.5 0.5 0.451

C Cyanblau

olv3Mi = 0.0 1.0 1.0
olv3Mo = 0.25 0.75 0.638
LCHMi = 56.7 77.4 217
LCHo = 52.3 29.1 217
tchMi = 0.5 1.0 0.603
tchMo = 0.5 0.5 0.603

V Violettblau

olv3Mi = 0.0 0.0 1.0
olv3Mo = 0.25 0.491 0.75
LCHMi = 56.7 77.4 272
LCHo = 44.6 27.1 272
tchMi = 0.5 1.0 0.755
tchMo = 0.5 0.5 0.755

M Magentarot

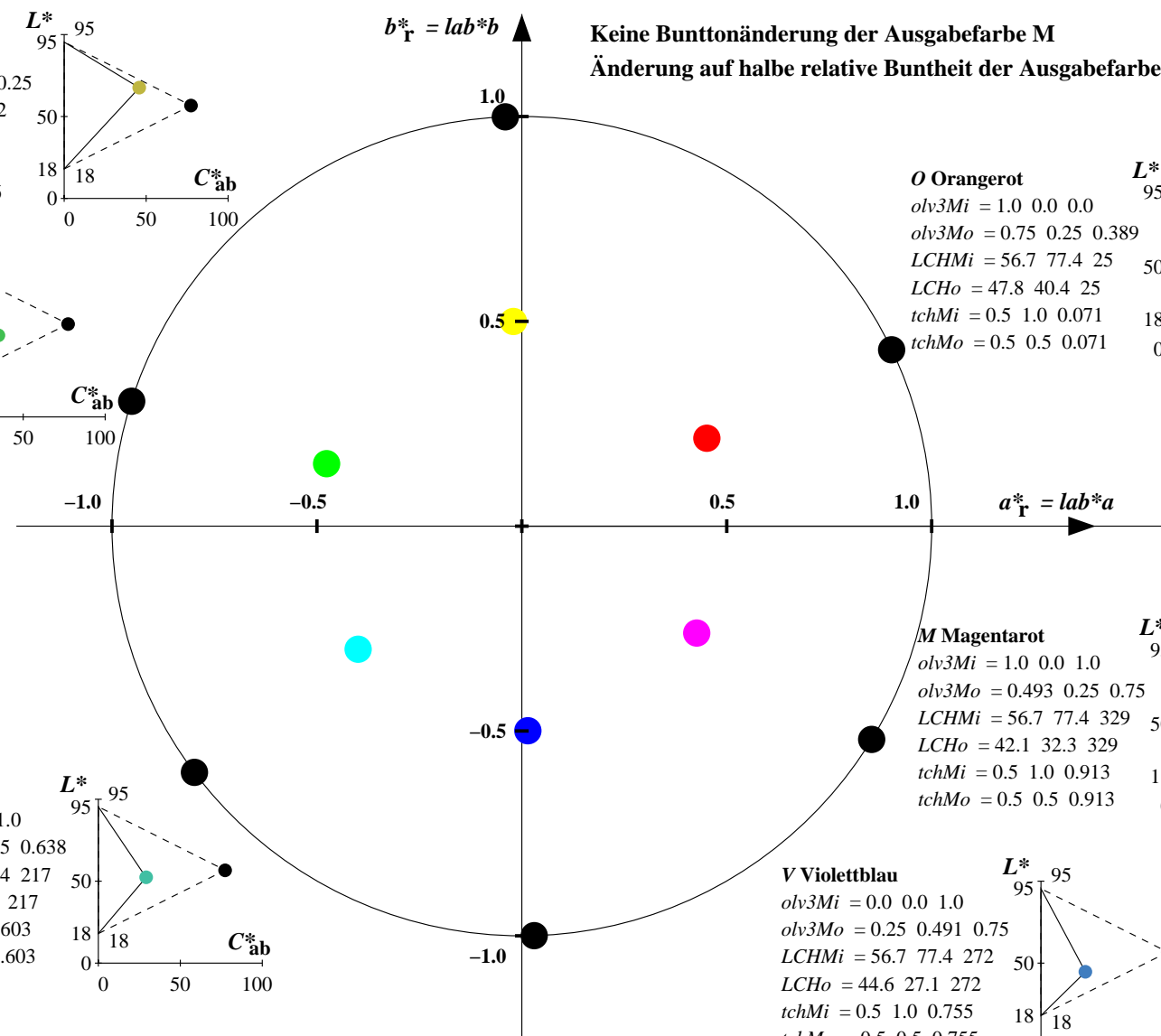
olv3Mi = 1.0 0.0 1.0
olv3Mo = 0.493 0.25 0.75
LCHMi = 56.7 77.4 329
LCHo = 42.1 32.3 329
tchMi = 0.5 1.0 0.913
tchMo = 0.5 0.5 0.913

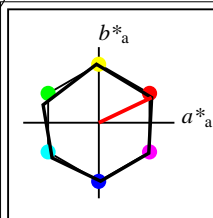
O Orangerot

olv3Mi = 1.0 0.0 0.0
olv3Mo = 0.75 0.25 0.389
LCHMi = 56.7 77.4 25
LCHo = 47.8 40.4 25
tchMi = 0.5 1.0 0.071
tchMo = 0.5 0.5 0.071

Keine Bunttonänderung der Ausgabefarbe M

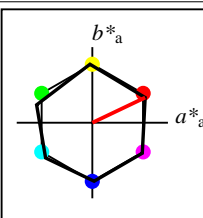
Änderung auf halbe relative Buntheit der Ausgabefarbe M





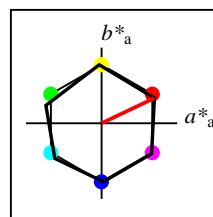
%Umfang
 $u^*_{rel} = 100$
%Regularität
 $g^*_{H,rel} = 78$
 $g^*_{C,rel} = 100$

NRS18	$L^*=L^*_a$	a^*_a	b^*_a	$C^*_{ab,a}$	$h^*_{ab,a}$
O _M	56.71	69.87	33.29	77.4	25
Y _M	56.71	-3.1	77.34	77.4	92
L _M	56.71	-73.68	23.63	77.39	162
C _M	56.71	-61.81	-46.54	77.39	217
V _M	56.71	2.35	-77.34	77.39	272
M _M	56.71	66.07	-40.3	77.4	329
N _M	18.01	0.0	0.0	0.0	0
W _M	95.41	0.0	0.0	0.0	0
R _{CIE}	39.92	58.74	27.99	65.07	25
J _{CIE}	81.26	-2.88	71.56	71.62	92
G _{CIE}	52.23	-42.41	13.6	44.55	162
B _{CIE}	30.57	1.41	-46.46	46.49	272



%Umfang
 $u^*_{rel} = 100$
%Regularität
 $g^*_{H,rel} = 78$
 $g^*_{C,rel} = 100$

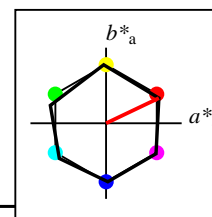
NRS18a; adaptierte CIELAB-Daten	$L^*=L^*_a$	a^*_a	b^*_a	$C^*_{ab,a}$	$h^*_{ab,a}$
O _{Ma}	56.71	69.87	33.29	77.4	25
Y _{Ma}	56.71	-3.1	77.34	77.4	92
L _{Ma}	56.71	-73.68	23.63	77.39	162
C _{Ma}	56.71	-61.81	-46.54	77.39	217
V _{Ma}	56.71	2.35	-77.34	77.39	272
M _{Ma}	56.71	66.07	-40.3	77.4	329
N _{Ma}	18.01	0.0	0.0	0.0	0
W _{Ma}	95.41	0.0	0.0	0.0	0
R _{CIE}	39.92	58.74	27.99	65.07	25
J _{CIE}	81.26	-2.88	71.56	71.62	92
G _{CIE}	52.23	-42.41	13.6	44.55	162
B _{CIE}	30.57	1.41	-46.46	46.49	272



%Umfang
 $u^*_{rel} = 100$
%Regularität
 $g^*_{H,rel} = 78$
 $g^*_{C,rel} = 100$

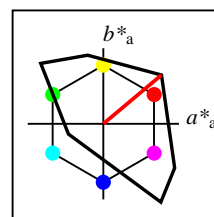
NRS18a; adaptierte CIELAB-Daten	$L^*=L^*_a$	a^*_a	b^*_a	$C^*_{ab,a}$	$h^*_{ab,a}$
O _{Ma}	56.71	69.87	33.29	77.4	25
Y _{Ma}	56.71	-3.1	77.34	77.4	92
L _{Ma}	56.71	-73.68	23.63	77.39	162
C _{Ma}	56.71	-61.81	-46.54	77.39	217
V _{Ma}	56.71	2.35	-77.34	77.39	272
M _{Ma}	56.71	66.07	-40.3	77.4	329
N _{Ma}	18.01	0.0	0.0	0.0	0
W _{Ma}	95.41	0.0	0.0	0.0	0
R _{CIE}	39.92	58.74	27.99	65.07	25
J _{CIE}	81.26	-2.88	71.56	71.62	92
G _{CIE}	52.23	-42.41	13.6	44.55	162
B _{CIE}	30.57	1.41	-46.46	46.49	272

Workflow-Wahlen
für Farbmuster:
1. keine Farbänderung
2. Buntton-Änderung
3. Buntheits-Änderung



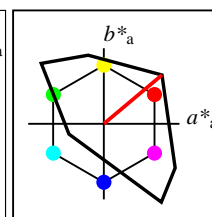
%Umfang
 $u^*_{rel} = 100$
%Regularität
 $g^*_{H,rel} = 78$
 $g^*_{C,rel} = 100$

NRS18a; adaptierte CIELAB-Daten	$L^*=L^*_a$	a^*_a	b^*_a	$C^*_{ab,a}$	$h^*_{ab,a}$
O _{Ma}	56.71	69.87	33.29	77.4	25
Y _{Ma}	56.71	-3.1	77.34	77.4	92
L _{Ma}	56.71	-73.68	23.63	77.39	162
C _{Ma}	56.71	-61.81	-46.54	77.39	217
V _{Ma}	56.71	2.35	-77.34	77.39	272
M _{Ma}	56.71	66.07	-40.3	77.4	329
N _{Ma}	18.01	0.0	0.0	0.0	0
W _{Ma}	95.41	0.0	0.0	0.0	0
R _{CIE}	39.92	58.74	27.99	65.07	25
J _{CIE}	81.26	-2.88	71.56	71.62	92
G _{CIE}	52.23	-42.41	13.6	44.55	162
B _{CIE}	30.57	1.41	-46.46	46.49	272



%Umfang
 $u^*_{rel} = 158$
%Regularität
 $g^*_{H,rel} = 20$
 $g^*_{C,rel} = 37$

TLS00a; adaptierte CIELAB-Daten	$L^*=L^*_a$	a^*_a	b^*_a	$C^*_{ab,a}$	$h^*_{ab,a}$
O _{Ma}	50.5	76.92	64.55	100.42	40
Y _{Ma}	92.66	-20.69	90.75	93.08	103
L _{Ma}	83.63	-82.75	79.9	115.04	136
C _{Ma}	86.88	-46.16	-13.55	48.12	196
V _{Ma}	30.39	76.06	-103.59	128.52	306
M _{Ma}	57.3	94.35	-58.41	110.97	328
N _{Ma}	0.01	0.0	0.0	0.0	0
W _{Ma}	95.41	0.0	0.0	0.0	0
R _{CIE}	39.92	58.74	27.99	65.07	25
J _{CIE}	81.26	-2.88	71.56	71.62	92
G _{CIE}	52.23	-42.41	13.6	44.55	162
B _{CIE}	30.57	1.41	-46.46	46.49	272



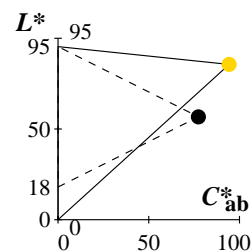
%Umfang
 $u^*_{rel} = 158$
%Regularität
 $g^*_{H,rel} = 20$
 $g^*_{C,rel} = 37$

TLS00	$L^*=L^*_a$	a^*_a	b^*_a	$C^*_{ab,a}$	$h^*_{ab,a}$
O _M	50.5	76.92	64.55	100.42	40
Y _M	92.66	-20.69	90.75	93.08	103
L _M	83.63	-82.75	79.9	115.04	136
C _M	86.88	-46.16	-13.55	48.12	196
V _M	30.39	76.06	-103.59	128.52	306
M _M	57.3	94.35	-58.41	110.97	328
N _M	0.01	0.0	0.0	0.0	0
W _M	95.41	0.0	0.0	0.0	0
R _{CIE}	39.92	58.74	27.99	65.07	25
J _{CIE}	81.26	-2.88	71.56	71.62	92
G _{CIE}	52.23	-42.41	13.6	44.55	162
B _{CIE}	30.57	1.41	-46.46	46.49	272

Relatives CIELAB-Buntheitsdiagramm: ($a^*_r = lab^*a$, $b^*_r = lab^*b$) und absolutes CIELAB Bunttondreiecks-Diagramm: (L^* , C^*_{ab}) für Ein- (---) und Ausgabe (----) NRS18: Eingabe (i) Farbmatrik-Sytem; Sechs Bunttonwinkel des Farbgerätes: (25.5, 92.3, 162.2, 217.0, 271.7, 328.6); Vier Bunttonwinkel der Elementarfarben: (25.5, 92.3, 162.2, 271.7)
TLS00: Ausgabe (o) Farbmatrik-Sytem; Sechs Bunttonwinkel des Farbgerätes: (40.0, 102.8, 136.0, 196.4, 306.3, 328.2); Vier Bunttonwinkel der Elementarfarben: (25.5, 92.3, 162.2, 271.7)

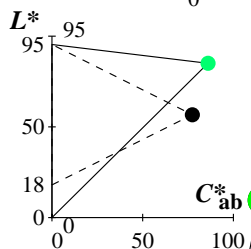
Y Gelb

$olv3Mi = 1.0 \ 1.0 \ 0.0$
 $olv3Mo = 1.0 \ 0.832 \ 0.0$
 $LCHMi = 56.7 \ 77.4 \ 92$
 $LCHo = 85.6 \ 94.3 \ 92$
 $tchMi = 0.5 \ 1.0 \ 0.256$
 $tchMo = 0.5 \ 1.0 \ 0.256$



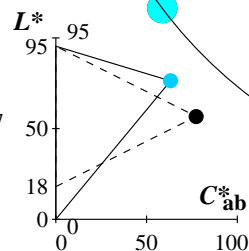
L Laubgrün

$olv3Mi = 0.0 \ 1.0 \ 0.0$
 $olv3Mo = 0.0 \ 1.0 \ 0.434$
 $LCHMi = 56.7 \ 77.4 \ 162$
 $LCHo = 85.0 \ 86.0 \ 162$
 $tchMi = 0.5 \ 1.0 \ 0.451$
 $tchMo = 0.5 \ 1.0 \ 0.451$



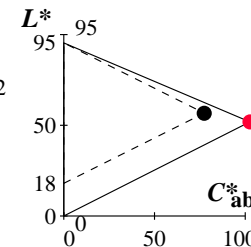
C Cyanblau

$olv3Mi = 0.0 \ 1.0 \ 1.0$
 $olv3Mo = 0.0 \ 0.812 \ 1.0$
 $LCHMi = 56.7 \ 77.4 \ 217$
 $LCHo = 76.3 \ 63.2 \ 217$
 $tchMi = 0.5 \ 1.0 \ 0.603$
 $tchMo = 0.5 \ 1.0 \ 0.603$



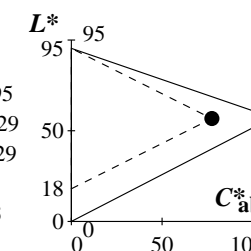
O Orangerot

$olv3Mi = 1.0 \ 0.0 \ 0.0$
 $olv3Mo = 1.0 \ 0.0 \ 0.202$
 $LCHMi = 56.7 \ 77.4 \ 25$
 $LCHo = 51.9 \ 102.6 \ 25$
 $tchMi = 0.5 \ 1.0 \ 0.071$
 $tchMo = 0.5 \ 1.0 \ 0.071$



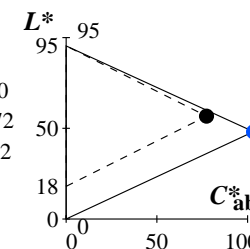
M Magentarot

$olv3Mi = 1.0 \ 0.0 \ 1.0$
 $olv3Mo = 1.0 \ 0.0 \ 0.995$
 $LCHMi = 56.7 \ 77.4 \ 329$
 $LCHo = 57.3 \ 110.9 \ 329$
 $tchMi = 0.5 \ 1.0 \ 0.913$
 $tchMo = 0.5 \ 1.0 \ 0.913$



V Violettblau

$olv3Mi = 0.0 \ 0.0 \ 1.0$
 $olv3Mo = 0.0 \ 0.314 \ 1.0$
 $LCHMi = 56.7 \ 77.4 \ 272$
 $LCHo = 48.1 \ 103.3 \ 272$
 $tchMi = 0.5 \ 1.0 \ 0.755$
 $tchMo = 0.5 \ 1.0 \ 0.755$



Keine Bunttonänderung der Ausgabefarbe M

Keine relative Buntheitsänderung der Ausgabefarbe M

Relatives CIELAB-Buntheitsdiagramm: ($a^*_r = lab^*a$, $b^*_r = lab^*b$) und absolutes CIELAB Bunttondreiecks-Diagramm: (L^* , C^*_{ab}) für Ein- (---) und Ausgabe (----) NRS18: Eingabe (i) Farbmatrik-Sytem; Sechs Bunttonwinkel des Farbgerätes: (25.5, 92.3, 162.2, 217.0, 271.7, 328.6); Vier Bunttonwinkel der Elementarfarben: (25.5, 92.3, 162.2, 271.7)
TLS00: Ausgabe (o) Farbmatrik-Sytem; Sechs Bunttonwinkel des Farbgerätes: (40.0, 102.8, 136.0, 196.4, 306.3, 328.2); Vier Bunttonwinkel der Elementarfarben: (25.5, 92.3, 162.2, 271.7)

Y Gelb

$olv3Mi = 1.0 \ 1.0 \ 0.0$
 $olv3Mo = 1.0 \ 0.991 \ 0.0$
 $LCHMi = 56.7 \ 77.4 \ 92$
 $LCHo = 92.3 \ 93.1 \ 102$
 $tchMi = 0.5 \ 1.0 \ 0.256$
 $tchMo = 0.5 \ 1.0 \ 0.284$

L Laubgrün

$olv3Mi = 0.0 \ 1.0 \ 0.0$
 $olv3Mo = 0.0 \ 1.0 \ 0.6$
 $LCHMi = 56.7 \ 77.4 \ 162$
 $LCHo = 85.6 \ 74.9 \ 172$
 $tchMi = 0.5 \ 1.0 \ 0.451$
 $tchMo = 0.5 \ 1.0 \ 0.478$

C Cyanblau

$olv3Mi = 0.0 \ 1.0 \ 1.0$
 $olv3Mo = 0.0 \ 0.721 \ 1.0$
 $LCHMi = 56.7 \ 77.4 \ 217$
 $LCHo = 71.1 \ 70.5 \ 227$
 $tchMi = 0.5 \ 1.0 \ 0.603$
 $tchMo = 0.5 \ 1.0 \ 0.631$

V Violettblau

$olv3Mi = 0.0 \ 0.0 \ 1.0$
 $olv3Mo = 0.0 \ 0.223 \ 1.0$
 $LCHMi = 56.7 \ 77.4 \ 272$
 $LCHo = 43.0 \ 110.6 \ 282$
 $tchMi = 0.5 \ 1.0 \ 0.755$
 $tchMo = 0.5 \ 1.0 \ 0.783$

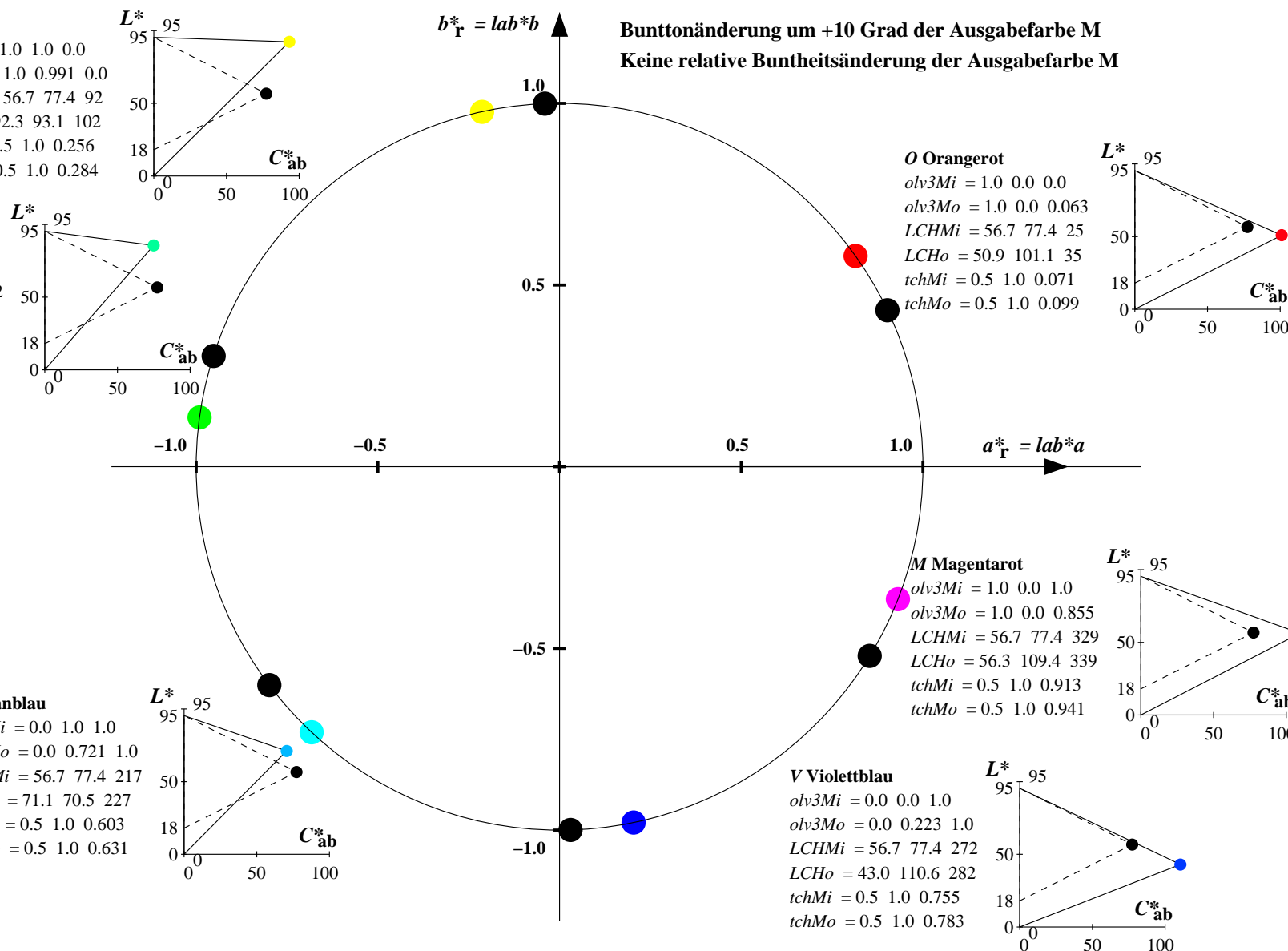
M Magentarot

$olv3Mi = 1.0 \ 0.0 \ 1.0$
 $olv3Mo = 1.0 \ 0.0 \ 0.855$
 $LCHMi = 56.7 \ 77.4 \ 329$
 $LCHo = 56.3 \ 109.4 \ 339$
 $tchMi = 0.5 \ 1.0 \ 0.913$
 $tchMo = 0.5 \ 1.0 \ 0.941$

O Orangerot

$olv3Mi = 1.0 \ 0.0 \ 0.0$
 $olv3Mo = 1.0 \ 0.0 \ 0.063$
 $LCHMi = 56.7 \ 77.4 \ 25$
 $LCHo = 50.9 \ 101.1 \ 35$
 $tchMi = 0.5 \ 1.0 \ 0.071$
 $tchMo = 0.5 \ 1.0 \ 0.099$

Bunttonänderung um +10 Grad der Ausgabefarbe M
Keine relative Buntheitsänderung der Ausgabefarbe M



Relatives CIELAB-Buntheitsdiagramm: ($a_R^* = lab^*a$, $b_R^* = lab^*b$) und absolutes CIELAB Bunttondreiecks-Diagramm: (L^* , C_{ab}^*) für Ein- (---) und Ausgabe (----) NRS18: Eingabe (i) Farbmatrik-Sytem; Sechs Bunttonwinkel des Farbgerätes: (25.5, 92.3, 162.2, 217.0, 271.7, 328.6); Vier Bunttonwinkel der Elementarfarben: (25.5, 92.3, 162.2, 271.7)
TLS00: Ausgabe (o) Farbmatrik-Sytem; Sechs Bunttonwinkel des Farbgerätes: (40.0, 102.8, 136.0, 196.4, 306.3, 328.2); Vier Bunttonwinkel der Elementarfarben: (25.5, 92.3, 162.2, 271.7)

Y Gelb

olv3Mi = 1.0 1.0 0.0
olv3Mo = 0.75 0.666 0.25
LCHMi = 56.7 77.4 92
LCHo = 66.6 47.2 92
tchMi = 0.5 1.0 0.256
tchMo = 0.5 0.5 0.256

L Laubgrün

olv3Mi = 0.0 1.0 0.0
olv3Mo = 0.25 0.75 0.467
LCHMi = 56.7 77.4 162
LCHo = 66.4 43.0 162
tchMi = 0.5 1.0 0.451
tchMo = 0.5 0.5 0.451

C Cyanblau

olv3Mi = 0.0 1.0 1.0
olv3Mo = 0.25 0.656 0.75
LCHMi = 56.7 77.4 217
LCHo = 62.0 31.6 217
tchMi = 0.5 1.0 0.603
tchMo = 0.5 0.5 0.603

V Violettblau

olv3Mi = 0.0 0.0 1.0
olv3Mo = 0.25 0.407 0.75
LCHMi = 56.7 77.4 272
LCHo = 47.9 51.6 272
tchMi = 0.5 1.0 0.755
tchMo = 0.5 0.5 0.755

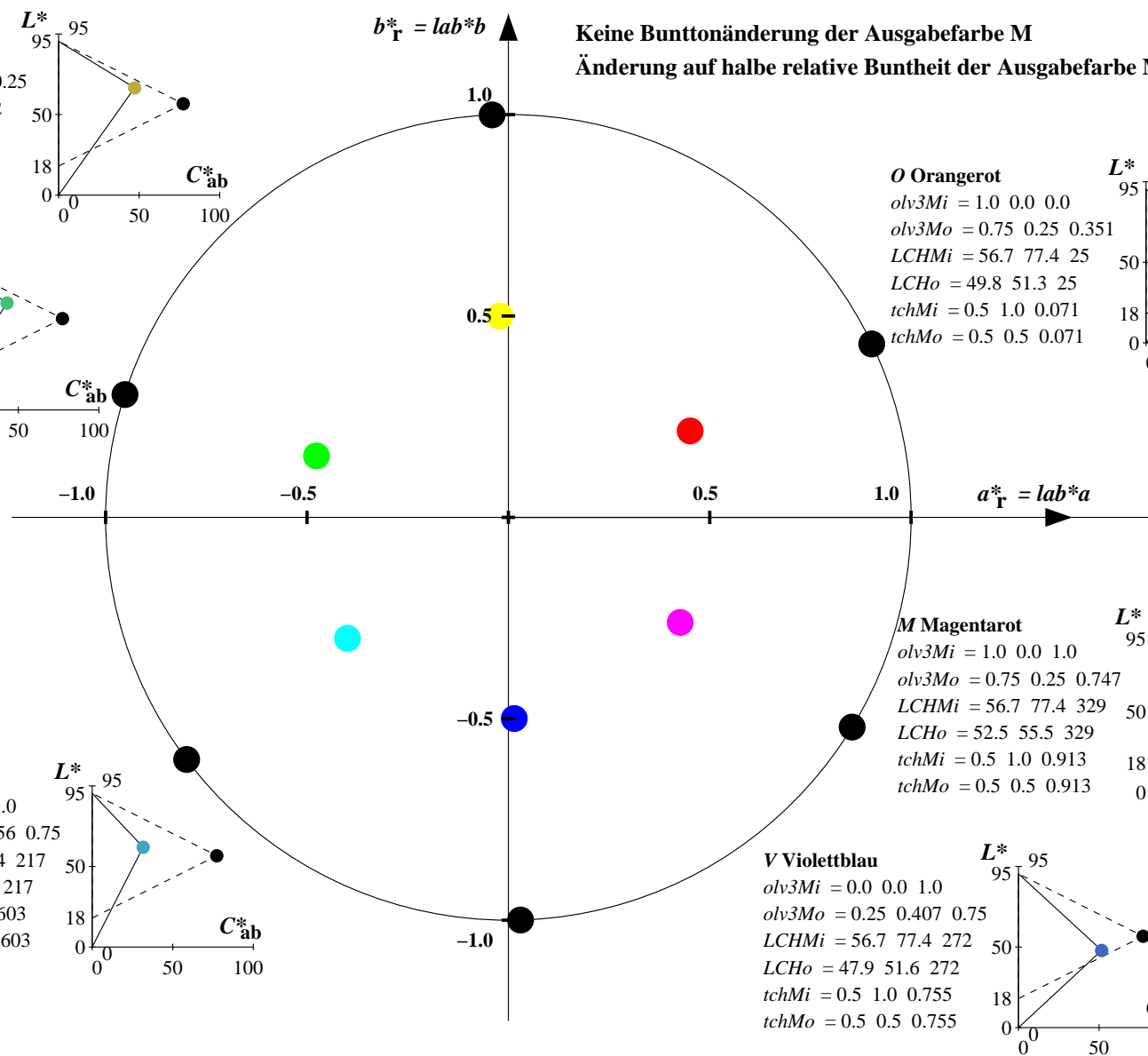
M Magentarot

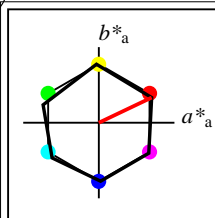
olv3Mi = 1.0 0.0 1.0
olv3Mo = 0.75 0.25 0.747
LCHMi = 56.7 77.4 329
LCHo = 52.5 55.5 329
tchMi = 0.5 1.0 0.913
tchMo = 0.5 0.5 0.913

O Orangerot

olv3Mi = 1.0 0.0 0.0
olv3Mo = 0.75 0.25 0.351
LCHMi = 56.7 77.4 25
LCHo = 49.8 51.3 25
tchMi = 0.5 1.0 0.071
tchMo = 0.5 0.5 0.071

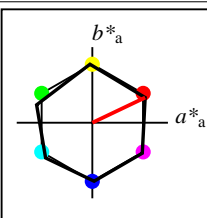
Keine Bunttonänderung der Ausgabefarbe M
Änderung auf halbe relative Buntheit der Ausgabefarbe M





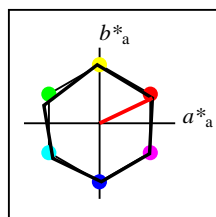
%Umfang
 $u^*_{rel} = 100$
%Regularität
 $g^*_{H,rel} = 78$
 $g^*_{C,rel} = 100$

NRS18	$L^*=L^*_a$	a^*_a	b^*_a	$C^*_{ab,a}$	$h^*_{ab,a}$
O _M	56.71	69.87	33.29	77.4	25
Y _M	56.71	-3.1	77.34	77.4	92
L _M	56.71	-73.68	23.63	77.39	162
C _M	56.71	-61.81	-46.54	77.39	217
V _M	56.71	2.35	-77.34	77.39	272
M _M	56.71	66.07	-40.3	77.4	329
N _M	18.01	0.0	0.0	0.0	0
W _M	95.41	0.0	0.0	0.0	0
R _{CIE}	39.92	58.74	27.99	65.07	25
J _{CIE}	81.26	-2.88	71.56	71.62	92
G _{CIE}	52.23	-42.41	13.6	44.55	162
B _{CIE}	30.57	1.41	-46.46	46.49	272



%Umfang
 $u^*_{rel} = 100$
%Regularität
 $g^*_{H,rel} = 78$
 $g^*_{C,rel} = 100$

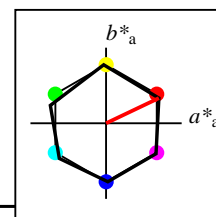
NRS18a; adaptierte CIELAB-Daten	$L^*=L^*_a$	a^*_a	b^*_a	$C^*_{ab,a}$	$h^*_{ab,a}$
O _{Ma}	56.71	69.87	33.29	77.4	25
Y _{Ma}	56.71	-3.1	77.34	77.4	92
L _{Ma}	56.71	-73.68	23.63	77.39	162
C _{Ma}	56.71	-61.81	-46.54	77.39	217
V _{Ma}	56.71	2.35	-77.34	77.39	272
M _{Ma}	56.71	66.07	-40.3	77.4	329
N _{Ma}	18.01	0.0	0.0	0.0	0
W _{Ma}	95.41	0.0	0.0	0.0	0
R _{CIE}	39.92	58.74	27.99	65.07	25
J _{CIE}	81.26	-2.88	71.56	71.62	92
G _{CIE}	52.23	-42.41	13.6	44.55	162
B _{CIE}	30.57	1.41	-46.46	46.49	272



%Umfang
 $u^*_{rel} = 100$
%Regularität
 $g^*_{H,rel} = 78$
 $g^*_{C,rel} = 100$

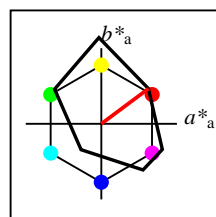
NRS18a; adaptierte CIELAB-Daten	$L^*=L^*_a$	a^*_a	b^*_a	$C^*_{ab,a}$	$h^*_{ab,a}$
O _{Ma}	56.71	69.87	33.29	77.4	25
Y _{Ma}	56.71	-3.1	77.34	77.4	92
L _{Ma}	56.71	-73.68	23.63	77.39	162
C _{Ma}	56.71	-61.81	-46.54	77.39	217
V _{Ma}	56.71	2.35	-77.34	77.39	272
M _{Ma}	56.71	66.07	-40.3	77.4	329
N _{Ma}	18.01	0.0	0.0	0.0	0
W _{Ma}	95.41	0.0	0.0	0.0	0
R _{CIE}	39.92	58.74	27.99	65.07	25
J _{CIE}	81.26	-2.88	71.56	71.62	92
G _{CIE}	52.23	-42.41	13.6	44.55	162
B _{CIE}	30.57	1.41	-46.46	46.49	272

Workflow-Wahlen
für Farbmuster:
1. keine Farbänderung
2. Buntton-Änderung
3. Buntheits-Änderung



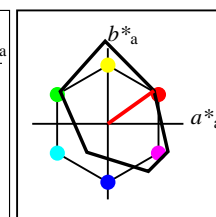
%Umfang
 $u^*_{rel} = 100$
%Regularität
 $g^*_{H,rel} = 78$
 $g^*_{C,rel} = 100$

NRS18a; adaptierte CIELAB-Daten	$L^*=L^*_a$	a^*_a	b^*_a	$C^*_{ab,a}$	$h^*_{ab,a}$
O _{Ma}	56.71	69.87	33.29	77.4	25
Y _{Ma}	56.71	-3.1	77.34	77.4	92
L _{Ma}	56.71	-73.68	23.63	77.39	162
C _{Ma}	56.71	-61.81	-46.54	77.39	217
V _{Ma}	56.71	2.35	-77.34	77.39	272
M _{Ma}	56.71	66.07	-40.3	77.4	329
N _{Ma}	18.01	0.0	0.0	0.0	0
W _{Ma}	95.41	0.0	0.0	0.0	0
R _{CIE}	39.92	58.74	27.99	65.07	25
J _{CIE}	81.26	-2.88	71.56	71.62	92
G _{CIE}	52.23	-42.41	13.6	44.55	162
B _{CIE}	30.57	1.41	-46.46	46.49	272



%Umfang
 $u^*_{rel} = 115$
%Regularität
 $g^*_{H,rel} = 28$
 $g^*_{C,rel} = 38$

FRS06a; adaptierte CIELAB-Daten	$L^*=L^*_a$	a^*_a	b^*_a	$C^*_{ab,a}$	$h^*_{ab,a}$
O _{Ma}	32.57	62.32	46.49	77.75	37
Y _{Ma}	82.73	-3.16	113.99	114.03	92
L _{Ma}	39.43	-61.79	45.84	76.95	143
C _{Ma}	47.86	-26.79	-34.24	43.49	232
V _{Ma}	10.16	55.12	-61.03	82.24	312
M _{Ma}	34.5	80.68	-33.92	87.52	337
N _{Ma}	6.25	0.0	0.0	0.0	0
W _{Ma}	91.97	0.0	0.0	0.0	0
R _{CIE}	39.92	59.8	31.05	67.38	27
J _{CIE}	81.26	-2.52	76.25	76.29	92
G _{CIE}	52.23	-41.56	17.14	44.96	158
B _{CIE}	30.57	2.63	-43.77	43.86	273



%Umfang
 $u^*_{rel} = 114$
%Regularität
 $g^*_{H,rel} = 28$
 $g^*_{C,rel} = 43$

FRS06	$L^*=L^*_a$	a^*_a	b^*_a	$C^*_{ab,a}$	$h^*_{ab,a}$
O _M	32.57	61.14	43.72	75.16	36
Y _M	82.73	-3.5	109.24	109.3	92
L _M	39.43	-62.86	42.8	76.06	146
C _M	47.86	-27.72	-37.61	46.74	234
V _M	10.16	53.56	-62.91	82.63	310
M _M	34.5	79.53	-36.76	87.62	335
N _M	6.25	-1.62	-1.72	2.38	227
W _M	91.97	-0.17	-5.1	5.11	268
R _{CIE}	39.92	58.74	27.99	65.07	25
J _{CIE}	81.26	-2.88	71.56	71.62	92
G _{CIE}	52.23	-42.41	13.6	44.55	162
B _{CIE}	30.57	1.41	-46.46	46.49	272

Relatives CIELAB-Buntheitsdiagramm: ($a_R^* = lab^*a$, $b_R^* = lab^*b$) und absolutes CIELAB Bunttondreiecks-Diagramm: (L^* , C_{ab}^*) für Ein- (---) und Ausgabe (----) NRS18: Eingabe (i) Farbmatrik-Sytem; Sechs Bunttonwinkel des Farbgerätes: (25.5, 92.3, 162.2, 217.0, 271.7, 328.6); Vier Bunttonwinkel der Elementarfarben: (25.5, 92.3, 162.2, 271.7) FRS06: Ausgabe (o) Farbmatrik-Sytem; Sechs Bunttonwinkel des Farbgerätes: (36.7, 91.6, 143.4, 232.0, 312.1, 337.2); Vier Bunttonwinkel der Elementarfarben: (27.4, 91.9, 157.6, 273.4)

Y Gelb

olv3Mi = 1.0 1.0 0.0
olv3Mo = 0.986 1.0 0.0
LCHMi = 56.7 77.4 92
LCHo = 82.1 113.5 92
tchMi = 0.5 1.0 0.256
tchMo = 0.5 1.0 0.256

L Laubgrün

olv3Mi = 0.0 1.0 0.0
olv3Mo = 0.0 1.0 0.212
LCHMi = 56.7 77.4 162
LCHo = 41.2 69.8 162
tchMi = 0.5 1.0 0.451
tchMo = 0.5 1.0 0.451

C Cyanblau

olv3Mi = 0.0 1.0 1.0
olv3Mo = 0.0 1.0 0.831
LCHMi = 56.7 77.4 217
LCHo = 46.4 49.2 217
tchMi = 0.5 1.0 0.603
tchMo = 0.5 1.0 0.603

V Violettblau

olv3Mi = 0.0 0.0 1.0
olv3Mo = 0.0 0.503 1.0
LCHMi = 56.7 77.4 272
LCHo = 29.1 62.7 272
tchMi = 0.5 1.0 0.755
tchMo = 0.5 1.0 0.755

M Magentarot

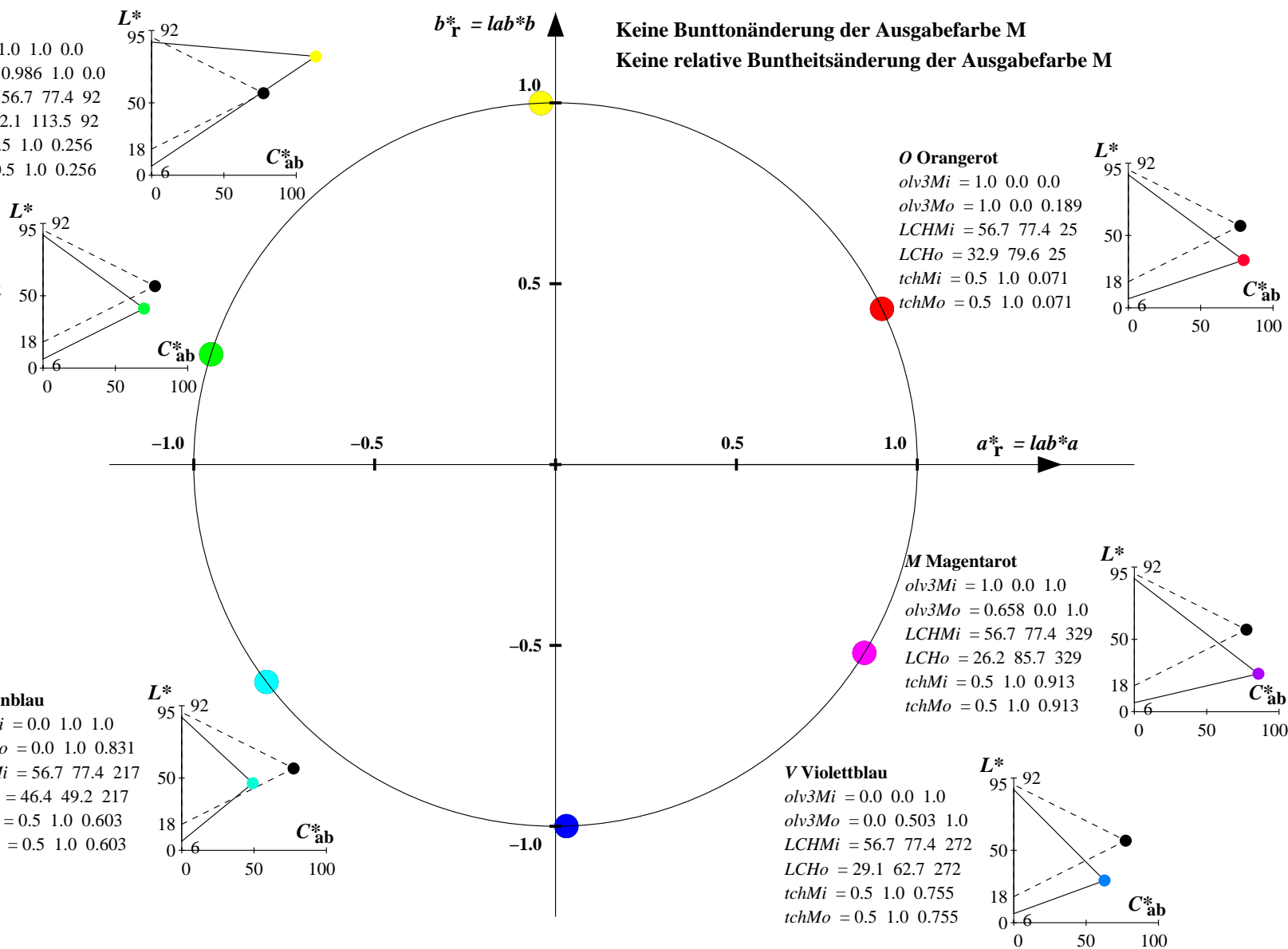
olv3Mi = 1.0 0.0 1.0
olv3Mo = 0.658 0.0 1.0
LCHMi = 56.7 77.4 329
LCHo = 26.2 85.7 329
tchMi = 0.5 1.0 0.913
tchMo = 0.5 1.0 0.913

O Orangerot

olv3Mi = 1.0 0.0 0.0
olv3Mo = 1.0 0.0 0.189
LCHMi = 56.7 77.4 25
LCHo = 32.9 79.6 25
tchMi = 0.5 1.0 0.071
tchMo = 0.5 1.0 0.071

Keine Bunttonänderung der Ausgabefarbe M

Keine relative Buntheitsänderung der Ausgabefarbe M



Relatives CIELAB-Buntheitsdiagramm: ($a^*_R = lab^*a$, $b^*_R = lab^*b$) und absolutes CIELAB Bunttondreiecks-Diagramm: (L^* , C^*_{ab}) für Ein- (---) und Ausgabe (----) NRS18: Eingabe (i) Farbmatrik-Sytem; Sechs Bunttonwinkel des Farbgerätes: (25.5, 92.3, 162.2, 217.0, 271.7, 328.6); Vier Bunttonwinkel der Elementarfarben: (25.5, 92.3, 162.2, 271.7) FRS06: Ausgabe (o) Farbmatrik-Sytem; Sechs Bunttonwinkel des Farbgerätes: (36.7, 91.6, 143.4, 232.0, 312.1, 337.2); Vier Bunttonwinkel der Elementarfarben: (27.4, 91.9, 157.6, 273.4)

Y Gelb

olv3Mi = 1.0 1.0 0.0
olv3Mo = 0.793 1.0 0.0
LCHMi = 56.7 77.4 92
LCHo = 73.8 106.4 102
tchMi = 0.5 1.0 0.256
tchMo = 0.5 1.0 0.284

L Laubgrün

olv3Mi = 0.0 1.0 0.0
olv3Mo = 0.0 1.0 0.325
LCHMi = 56.7 77.4 162
LCHo = 42.2 66.1 172
tchMi = 0.5 1.0 0.451
tchMo = 0.5 1.0 0.478

C Cyanblau

olv3Mi = 0.0 1.0 1.0
olv3Mo = 0.0 1.0 0.944
LCHMi = 56.7 77.4 217
LCHo = 47.4 45.4 227
tchMi = 0.5 1.0 0.603
tchMo = 0.5 1.0 0.631

V Violettblau

olv3Mi = 0.0 0.0 1.0
olv3Mo = 0.0 0.379 1.0
LCHMi = 56.7 77.4 272
LCHo = 24.4 67.6 282
tchMi = 0.5 1.0 0.755
tchMo = 0.5 1.0 0.783

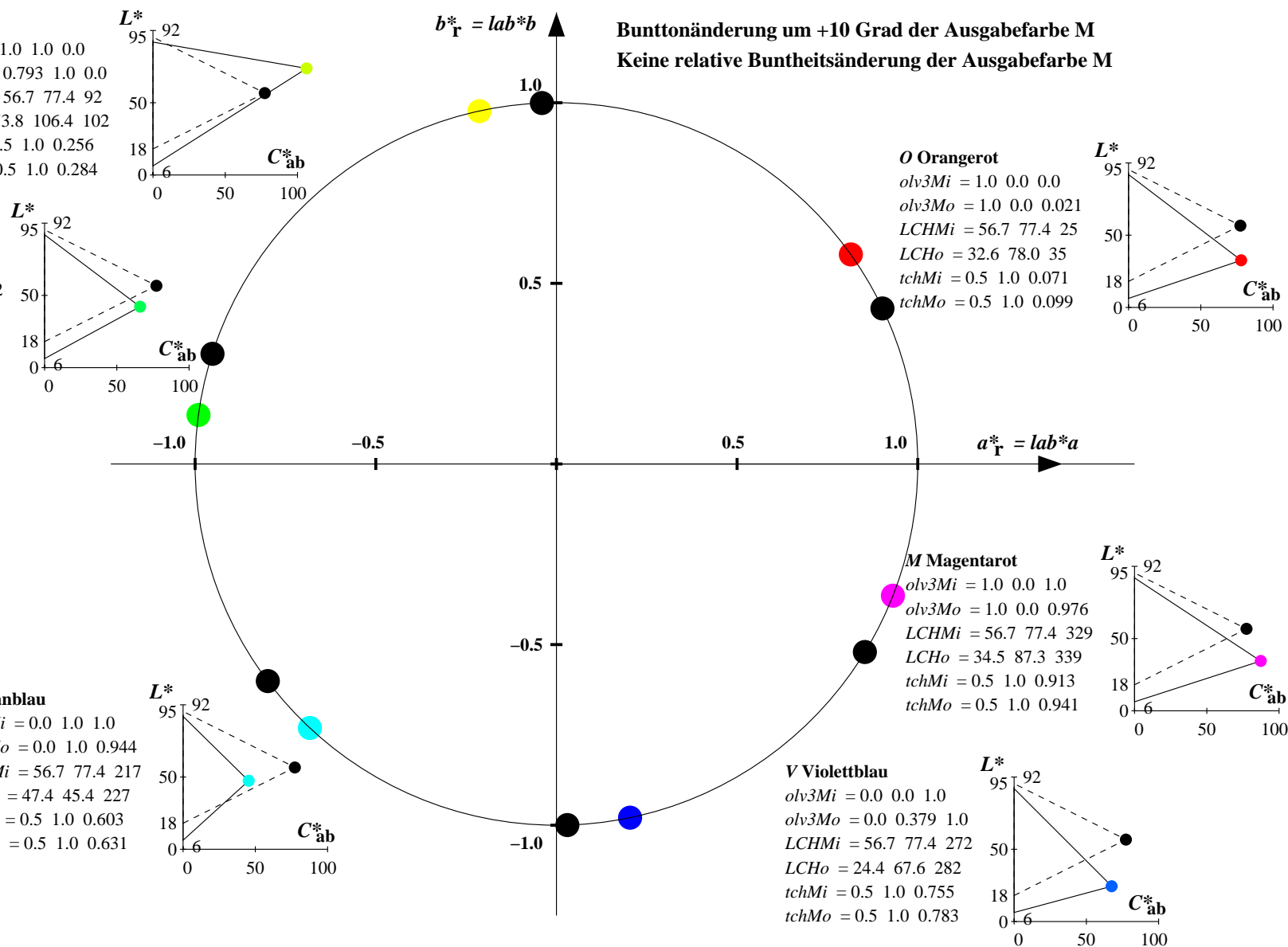
M Magentarot

olv3Mi = 1.0 0.0 1.0
olv3Mo = 1.0 0.0 0.976
LCHMi = 56.7 77.4 329
LCHo = 34.5 87.3 339
tchMi = 0.5 1.0 0.913
tchMo = 0.5 1.0 0.941

O Orangerot

olv3Mi = 1.0 0.0 0.0
olv3Mo = 1.0 0.0 0.021
LCHMi = 56.7 77.4 25
LCHo = 32.6 78.0 35
tchMi = 0.5 1.0 0.071
tchMo = 0.5 1.0 0.099

Bunttonänderung um +10 Grad der Ausgabefarbe M
Keine relative Buntheitsänderung der Ausgabefarbe M



Relatives CIELAB-Buntheitsdiagramm: ($a_R^* = lab^*a$, $b_R^* = lab^*b$) und absolutes CIELAB Bunttondreiecks-Diagramm: (L^* , C_{ab}^*) für Ein- (---) und Ausgabe (----) NRS18: Eingabe (i) Farbmatrik-Sytem; Sechs Bunttonwinkel des Farbgerätes: (25.5, 92.3, 162.2, 217.0, 271.7, 328.6); Vier Bunttonwinkel der Elementarfarben: (25.5, 92.3, 162.2, 271.7) FRS06: Ausgabe (o) Farbmatrik-Sytem; Sechs Bunttonwinkel des Farbgerätes: (36.7, 91.6, 143.4, 232.0, 312.1, 337.2); Vier Bunttonwinkel der Elementarfarben: (27.4, 91.9, 157.6, 273.4)

Y Gelb

olv3Mi = 1.0 1.0 0.0
olv3Mo = 0.743 0.75 0.25
LCHMi = 56.7 77.4 92
LCHo = 64.1 56.8 92
tchMi = 0.5 1.0 0.256
tchMo = 0.5 0.5 0.256

L Laubgrün

olv3Mi = 0.0 1.0 0.0
olv3Mo = 0.25 0.75 0.356
LCHMi = 56.7 77.4 162
LCHo = 43.6 34.9 162
tchMi = 0.5 1.0 0.451
tchMo = 0.5 0.5 0.451

C Cyanblau

olv3Mi = 0.0 1.0 1.0
olv3Mo = 0.25 0.75 0.665
LCHMi = 56.7 77.4 217
LCHo = 46.2 24.6 217
tchMi = 0.5 1.0 0.603
tchMo = 0.5 0.5 0.603

V Violettblau

olv3Mi = 0.0 0.0 1.0
olv3Mo = 0.25 0.502 0.75
LCHMi = 56.7 77.4 272
LCHo = 37.6 31.4 272
tchMi = 0.5 1.0 0.755
tchMo = 0.5 0.5 0.755

M Magentarot

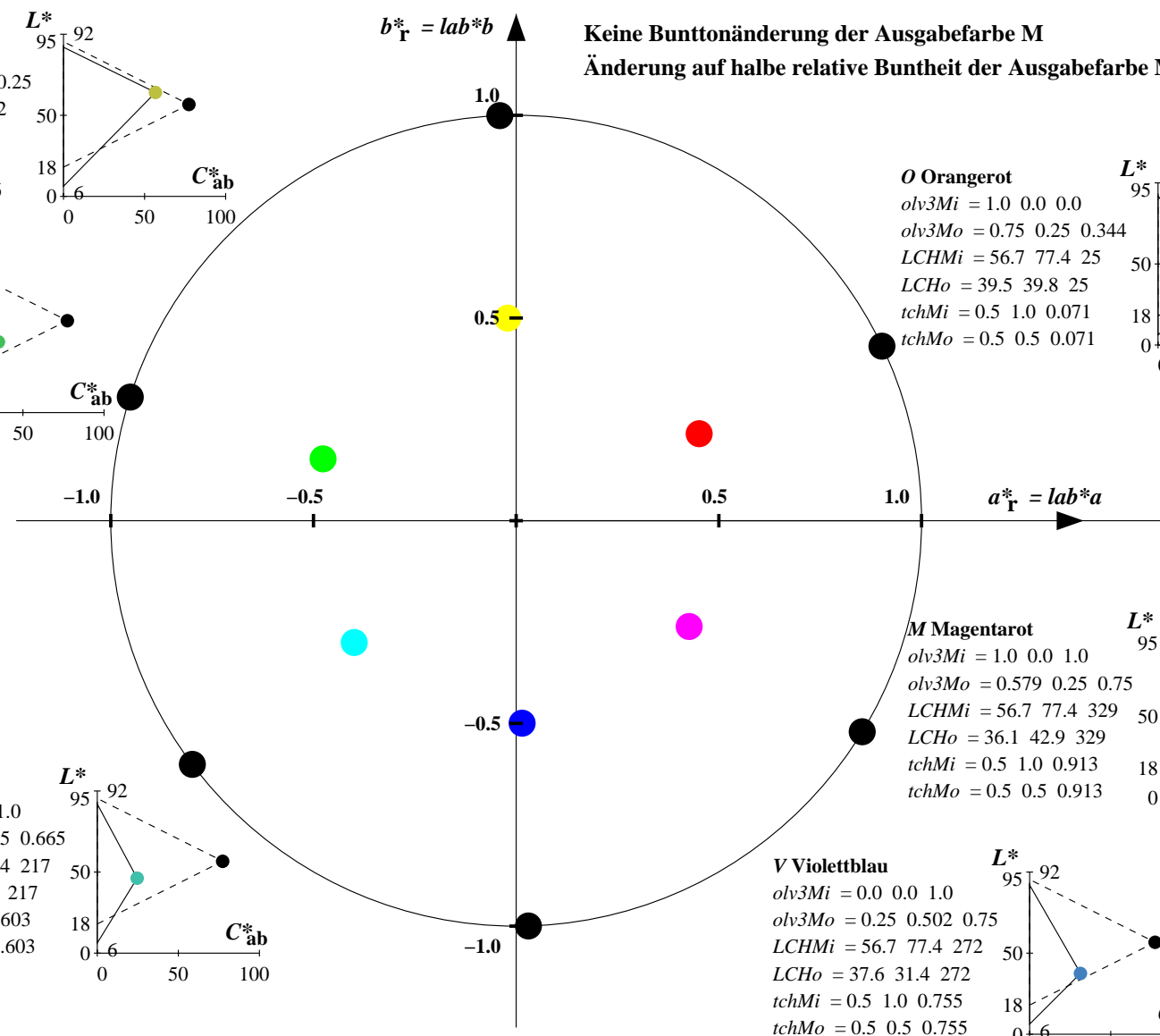
olv3Mi = 1.0 0.0 1.0
olv3Mo = 0.579 0.25 0.75
LCHMi = 56.7 77.4 329
LCHo = 36.1 42.9 329
tchMi = 0.5 1.0 0.913
tchMo = 0.5 0.5 0.913

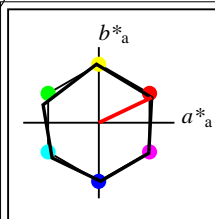
O Orangerot

olv3Mi = 1.0 0.0 0.0
olv3Mo = 0.75 0.25 0.344
LCHMi = 56.7 77.4 25
LCHo = 39.5 39.8 25
tchMi = 0.5 1.0 0.071
tchMo = 0.5 0.5 0.071

Keine Bunttonänderung der Ausgabefarbe M

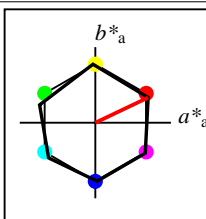
Änderung auf halbe relative Buntheit der Ausgabefarbe M





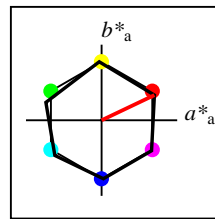
%Umfang
 $u^*_{rel} = 100$
%Regularität
 $g^*_{H,rel} = 78$
 $g^*_{C,rel} = 100$

NRS18	$L^*=L^*_a$	a^*_a	b^*_a	$C^*_{ab,a}$	$h^*_{ab,a}$
O _M	56.71	69.87	33.29	77.4	25
Y _M	56.71	-3.1	77.34	77.4	92
L _M	56.71	-73.68	23.63	77.39	162
C _M	56.71	-61.81	-46.54	77.39	217
V _M	56.71	2.35	-77.34	77.39	272
M _M	56.71	66.07	-40.3	77.4	329
N _M	18.01	0.0	0.0	0.0	0
W _M	95.41	0.0	0.0	0.0	0
R _{CIE}	39.92	58.74	27.99	65.07	25
J _{CIE}	81.26	-2.88	71.56	71.62	92
G _{CIE}	52.23	-42.41	13.6	44.55	162
B _{CIE}	30.57	1.41	-46.46	46.49	272



%Umfang
 $u^*_{rel} = 100$
%Regularität
 $g^*_{H,rel} = 78$
 $g^*_{C,rel} = 100$

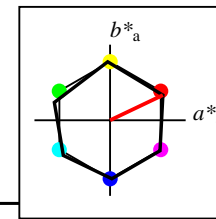
NRS18a; adaptierte CIELAB-Daten	$L^*=L^*_a$	a^*_a	b^*_a	$C^*_{ab,a}$	$h^*_{ab,a}$
O _{Ma}	56.71	69.87	33.29	77.4	25
Y _{Ma}	56.71	-3.1	77.34	77.4	92
L _{Ma}	56.71	-73.68	23.63	77.39	162
C _{Ma}	56.71	-61.81	-46.54	77.39	217
V _{Ma}	56.71	2.35	-77.34	77.39	272
M _{Ma}	56.71	66.07	-40.3	77.4	329
N _{Ma}	18.01	0.0	0.0	0.0	0
W _{Ma}	95.41	0.0	0.0	0.0	0
R _{CIE}	39.92	58.74	27.99	65.07	25
J _{CIE}	81.26	-2.88	71.56	71.62	92
G _{CIE}	52.23	-42.41	13.6	44.55	162
B _{CIE}	30.57	1.41	-46.46	46.49	272



%Umfang
 $u^*_{rel} = 100$
%Regularität
 $g^*_{H,rel} = 78$
 $g^*_{C,rel} = 100$

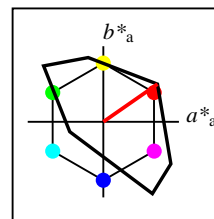
NRS18a; adaptierte CIELAB-Daten	$L^*=L^*_a$	a^*_a	b^*_a	$C^*_{ab,a}$	$h^*_{ab,a}$
O _{Ma}	56.71	69.87	33.29	77.4	25
Y _{Ma}	56.71	-3.1	77.34	77.4	92
L _{Ma}	56.71	-73.68	23.63	77.39	162
C _{Ma}	56.71	-61.81	-46.54	77.39	217
V _{Ma}	56.71	2.35	-77.34	77.39	272
M _{Ma}	56.71	66.07	-40.3	77.4	329
N _{Ma}	18.01	0.0	0.0	0.0	0
W _{Ma}	95.41	0.0	0.0	0.0	0
R _{CIE}	39.92	58.74	27.99	65.07	25
J _{CIE}	81.26	-2.88	71.56	71.62	92
G _{CIE}	52.23	-42.41	13.6	44.55	162
B _{CIE}	30.57	1.41	-46.46	46.49	272

Workflow-Wahlen
für Farbmuster:
1. keine Farbänderung
2. Buntton-Änderung
3. Buntheits-Änderung



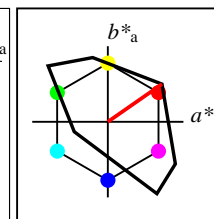
%Umfang
 $u^*_{rel} = 100$
%Regularität
 $g^*_{H,rel} = 78$
 $g^*_{C,rel} = 100$

NRS18a; adaptierte CIELAB-Daten	$L^*=L^*_a$	a^*_a	b^*_a	$C^*_{ab,a}$	$h^*_{ab,a}$
O _{Ma}	56.71	69.87	33.29	77.4	25
Y _{Ma}	56.71	-3.1	77.34	77.4	92
L _{Ma}	56.71	-73.68	23.63	77.39	162
C _{Ma}	56.71	-61.81	-46.54	77.39	217
V _{Ma}	56.71	2.35	-77.34	77.39	272
M _{Ma}	56.71	66.07	-40.3	77.4	329
N _{Ma}	18.01	0.0	0.0	0.0	0
W _{Ma}	95.41	0.0	0.0	0.0	0
R _{CIE}	39.92	58.74	27.99	65.07	25
J _{CIE}	81.26	-2.88	71.56	71.62	92
G _{CIE}	52.23	-42.41	13.6	44.55	162
B _{CIE}	30.57	1.41	-46.46	46.49	272



%Umfang
 $u^*_{rel} = 118$
%Regularität
 $g^*_{H,rel} = 22$
 $g^*_{C,rel} = 40$

TLS18a; adaptierte CIELAB-Daten	$L^*=L^*_a$	a^*_a	b^*_a	$C^*_{ab,a}$	$h^*_{ab,a}$
O _{Ma}	52.76	71.63	49.88	87.29	35
Y _{Ma}	92.74	-20.02	84.97	87.3	103
L _{Ma}	84.0	-78.98	73.94	108.2	137
C _{Ma}	87.14	-44.41	-13.11	46.32	196
V _{Ma}	35.47	64.92	-95.06	115.12	304
M _{Ma}	59.01	89.33	-55.67	105.26	328
N _{Ma}	18.01	0.0	0.0	0.0	0
W _{Ma}	95.41	0.0	0.0	0.0	0
R _{CIE}	39.92	58.74	27.99	65.07	25
J _{CIE}	81.26	-2.88	71.56	71.62	92
G _{CIE}	52.23	-42.41	13.6	44.55	162
B _{CIE}	30.57	1.41	-46.46	46.49	272



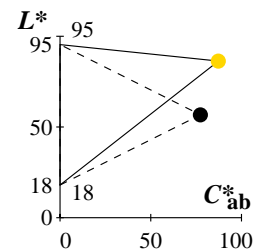
%Umfang
 $u^*_{rel} = 118$
%Regularität
 $g^*_{H,rel} = 22$
 $g^*_{C,rel} = 40$

TLS18	$L^*=L^*_a$	a^*_a	b^*_a	$C^*_{ab,a}$	$h^*_{ab,a}$
O _M	52.76	71.63	49.88	87.29	35
Y _M	92.74	-20.02	84.97	87.3	103
L _M	84.0	-78.98	73.94	108.2	137
C _M	87.14	-44.41	-13.11	46.32	196
V _M	35.47	64.92	-95.06	115.12	304
M _M	59.01	89.33	-55.67	105.26	328
N _M	18.01	0.0	0.0	0.0	0
W _M	95.41	0.0	0.0	0.0	0
R _{CIE}	39.92	58.74	27.99	65.07	25
J _{CIE}	81.26	-2.88	71.56	71.62	92
G _{CIE}	52.23	-42.41	13.6	44.55	162
B _{CIE}	30.57	1.41	-46.46	46.49	272

Relatives CIELAB-Buntheitsdiagramm: ($a_R^* = lab^*a$, $b_R^* = lab^*b$) und absolutes CIELAB Bunttondreiecks-Diagramm: (L^* , C_{ab}^*) für Ein- (---) und Ausgabe (----) NRS18: Eingabe (i) Farbmatrik-Sytem; Sechs Bunttonwinkel des Farbgerätes: (25.5, 92.3, 162.2, 217.0, 271.7, 328.6); Vier Bunttonwinkel der Elementarfarben: (25.5, 92.3, 162.2, 271.7)
TLS18: Ausgabe (o) Farbmatrik-Sytem; Sechs Bunttonwinkel des Farbgerätes: (34.9, 103.3, 136.9, 196.5, 304.3, 328.1); Vier Bunttonwinkel der Elementarfarben: (25.5, 92.3, 162.2, 271.7)

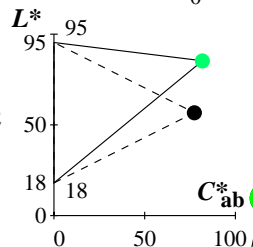
Y Gelb

olv3Mi = 1.0 1.0 0.0
olv3Mo = 1.0 0.84 0.0
LCHMi = 56.7 77.4 92
LCHo = 86.3 87.3 92
tchMi = 0.5 1.0 0.256
tchMo = 0.5 1.0 0.256



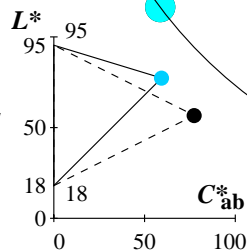
L Laubgrün

olv3Mi = 0.0 1.0 0.0
olv3Mo = 0.0 1.0 0.425
LCHMi = 56.7 77.4 162
LCHo = 85.3 81.9 162
tchMi = 0.5 1.0 0.451
tchMo = 0.5 1.0 0.451



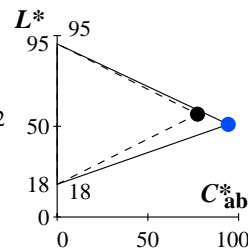
C Cyanblau

olv3Mi = 0.0 1.0 1.0
olv3Mo = 0.0 0.81 1.0
LCHMi = 56.7 77.4 217
LCHo = 77.3 59.4 217
tchMi = 0.5 1.0 0.603
tchMo = 0.5 1.0 0.603



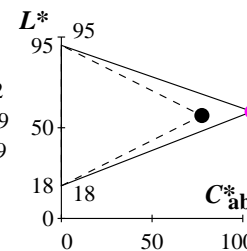
V Violettblau

olv3Mi = 0.0 0.0 1.0
olv3Mo = 0.0 0.302 1.0
LCHMi = 56.7 77.4 272
LCHo = 51.1 94.3 272
tchMi = 0.5 1.0 0.755
tchMo = 0.5 1.0 0.755



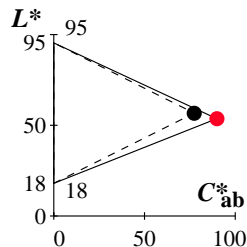
M Magentarot

olv3Mi = 1.0 0.0 1.0
olv3Mo = 1.0 0.0 0.992
LCHMi = 56.7 77.4 329
LCHo = 59.0 105.1 329
tchMi = 0.5 1.0 0.913
tchMo = 0.5 1.0 0.913



O Orangerot

olv3Mi = 1.0 0.0 0.0
olv3Mo = 1.0 0.0 0.14
LCHMi = 56.7 77.4 25
LCHo = 53.6 89.8 25
tchMi = 0.5 1.0 0.071
tchMo = 0.5 1.0 0.071



Keine Bunttonänderung der Ausgabefarbe M

Keine relative Buntheitsänderung der Ausgabefarbe M

Relatives CIELAB-Buntheitsdiagramm: ($a^*_r = lab^*a$, $b^*_r = lab^*b$) und absolutes CIELAB Bunttondreiecks-Diagramm: (L^* , C^*_{ab}) für Ein- (---) und Ausgabe (----) NRS18: Eingabe (i) Farbmatrik-Sytem; Sechs Bunttonwinkel des Farbgerätes: (25.5, 92.3, 162.2, 217.0, 271.7, 328.6); Vier Bunttonwinkel der Elementarfarben: (25.5, 92.3, 162.2, 271.7)
TLS18: Ausgabe (o) Farbmatrik-Sytem; Sechs Bunttonwinkel des Farbgerätes: (34.9, 103.3, 136.9, 196.5, 304.3, 328.1); Vier Bunttonwinkel der Elementarfarben: (25.5, 92.3, 162.2, 271.7)

Y Gelb

olv3Mi = 1.0 1.0 0.0
olv3Mo = 1.0 0.986 0.0
LCHMi = 56.7 77.4 92
LCHo = 92.2 87.3 102
tchMi = 0.5 1.0 0.256
tchMo = 0.5 1.0 0.284

L Laubgrün

olv3Mi = 0.0 1.0 0.0
olv3Mo = 0.0 1.0 0.593
LCHMi = 56.7 77.4 162
LCHo = 85.9 71.5 172
tchMi = 0.5 1.0 0.451
tchMo = 0.5 1.0 0.478

C Cyanblau

olv3Mi = 0.0 1.0 1.0
olv3Mo = 0.0 0.717 1.0
LCHMi = 56.7 77.4 217
LCHo = 72.5 65.8 227
tchMi = 0.5 1.0 0.603
tchMo = 0.5 1.0 0.631

V Violettblau

olv3Mi = 0.0 0.0 1.0
olv3Mo = 0.0 0.209 1.0
LCHMi = 56.7 77.4 272
LCHo = 46.3 100.7 282
tchMi = 0.5 1.0 0.755
tchMo = 0.5 1.0 0.783

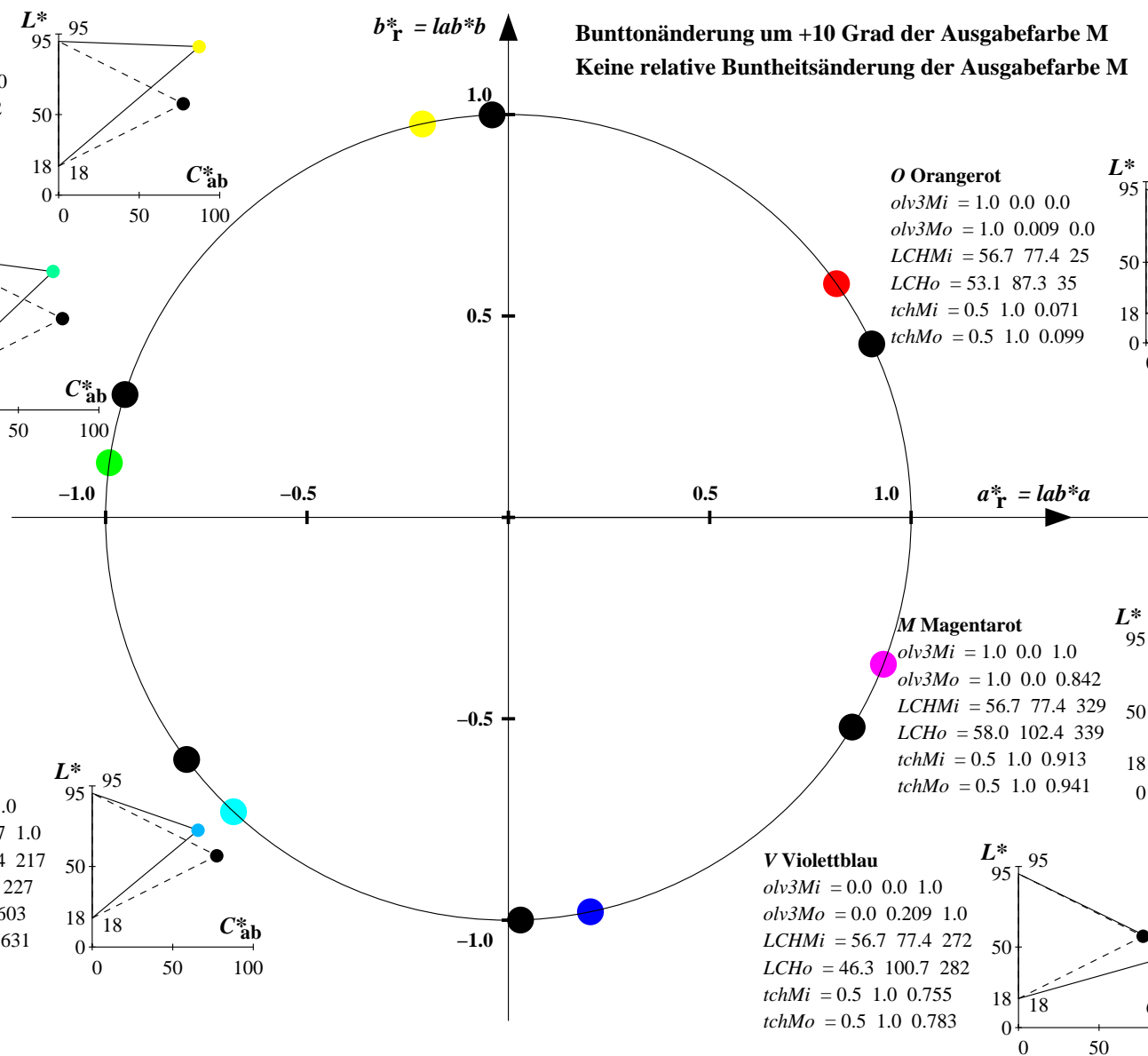
M Magentarot

olv3Mi = 1.0 0.0 1.0
olv3Mo = 1.0 0.0 0.842
LCHMi = 56.7 77.4 329
LCHo = 58.0 102.4 339
tchMi = 0.5 1.0 0.913
tchMo = 0.5 1.0 0.941

O Orangerot

olv3Mi = 1.0 0.0 0.0
olv3Mo = 1.0 0.009 0.0
LCHMi = 56.7 77.4 25
LCHo = 53.1 87.3 35
tchMi = 0.5 1.0 0.071
tchMo = 0.5 1.0 0.099

Bunttonänderung um +10 Grad der Ausgabefarbe M
Keine relative Buntheitsänderung der Ausgabefarbe M



Relatives CIELAB-Buntheitsdiagramm: ($a_R^* = lab^*a$, $b_R^* = lab^*b$) und absolutes CIELAB Bunttondreiecks-Diagramm: (L^* , C_{ab}^*) für Ein- (---) und Ausgabe (----) NRS18: Eingabe (i) Farbmatrik-Sytem; Sechs Bunttonwinkel des Farbgerätes: (25.5, 92.3, 162.2, 217.0, 271.7, 328.6); Vier Bunttonwinkel der Elementarfarben: (25.5, 92.3, 162.2, 271.7)
TLS18: Ausgabe (o) Farbmatrik-Sytem; Sechs Bunttonwinkel des Farbgerätes: (34.9, 103.3, 136.9, 196.5, 304.3, 328.1); Vier Bunttonwinkel der Elementarfarben: (25.5, 92.3, 162.2, 271.7)

Y Gelb

olv3Mi = 1.0 1.0 0.0
olv3Mo = 0.75 0.67 0.25
LCHMi = 56.7 77.4 92
LCHo = 67.0 43.6 92
tchMi = 0.5 1.0 0.256
tchMo = 0.5 0.5 0.256

L Laubgrün

olv3Mi = 0.0 1.0 0.0
olv3Mo = 0.25 0.75 0.463
LCHMi = 56.7 77.4 162
LCHo = 66.5 40.9 162
tchMi = 0.5 1.0 0.451
tchMo = 0.5 0.5 0.451

C Cyanblau

olv3Mi = 0.0 1.0 1.0
olv3Mo = 0.25 0.655 0.75
LCHMi = 56.7 77.4 217
LCHo = 62.5 29.7 217
tchMi = 0.5 1.0 0.603
tchMo = 0.5 0.5 0.603

V Violettblau

olv3Mi = 0.0 0.0 1.0
olv3Mo = 0.25 0.401 0.75
LCHMi = 56.7 77.4 272
LCHo = 49.4 47.2 272
tchMi = 0.5 1.0 0.755
tchMo = 0.5 0.5 0.755

M Magentarot

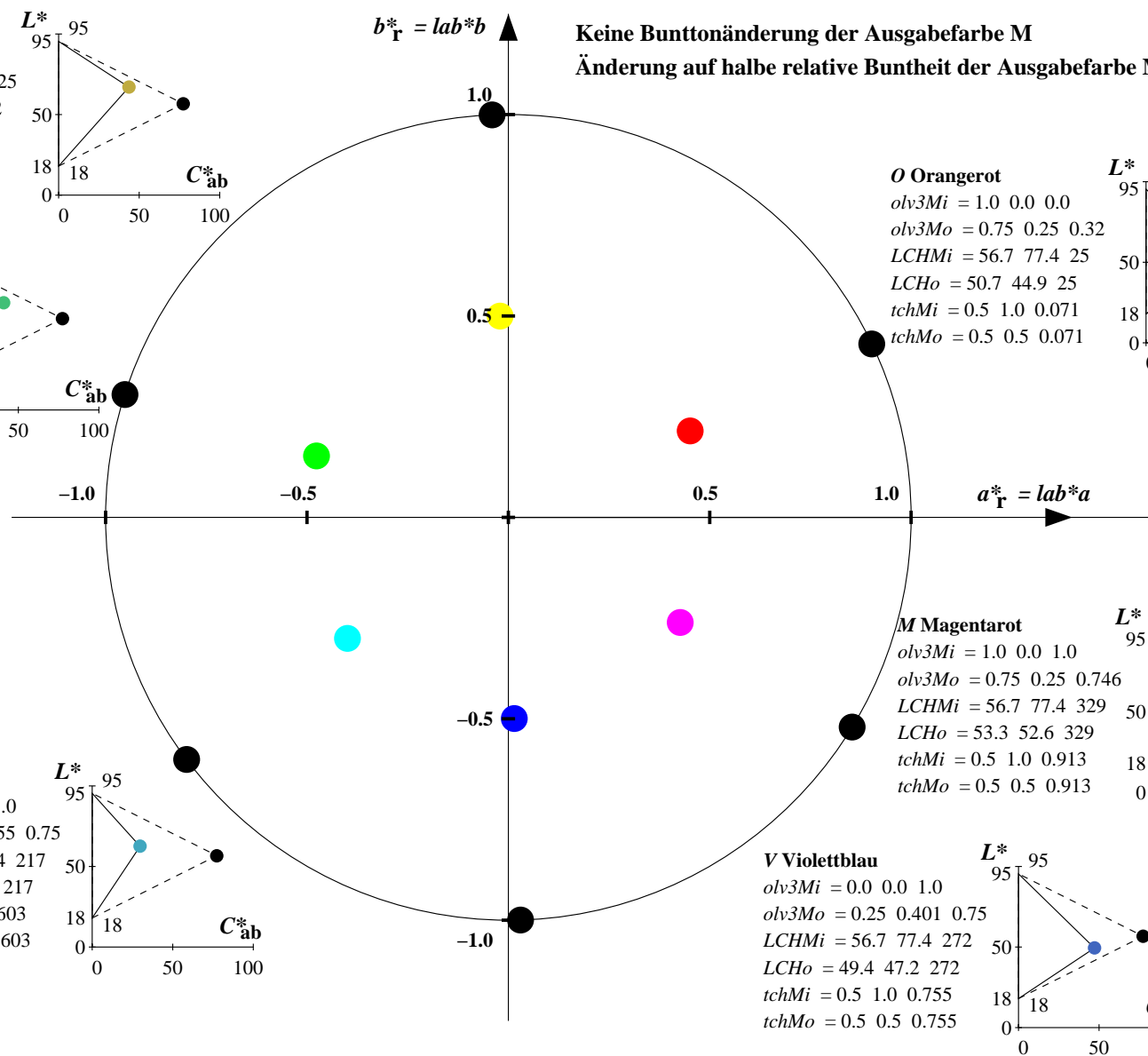
olv3Mi = 1.0 0.0 1.0
olv3Mo = 0.75 0.25 0.746
LCHMi = 56.7 77.4 329
LCHo = 53.3 52.6 329
tchMi = 0.5 1.0 0.913
tchMo = 0.5 0.5 0.913

O Orangerot

olv3Mi = 1.0 0.0 0.0
olv3Mo = 0.75 0.25 0.32
LCHMi = 56.7 77.4 25
LCHo = 50.7 44.9 25
tchMi = 0.5 1.0 0.071
tchMo = 0.5 0.5 0.071

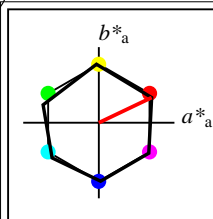
Keine Bunttonänderung der Ausgabefarbe M

Änderung auf halbe relative Buntheit der Ausgabefarbe M



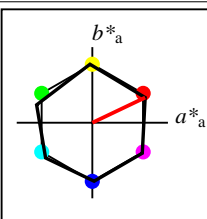
Siehe ähnliche Dateien: <http://www.ps.bam.de/YG65/>
Technische Information: <http://www.ps.bam.de> Version 2.1, io=1,1

BAM-Registrierung: 20061101-YG65/10L/L65G50NP.PS/.PDF BAM-Material: Code=rh4ta
Anwendung für Beurteilung und Messung von Drucker- oder Monitorssystemen
/YG65/ Form: 17/8, Seite: 1/1, Seite: 17 Seite: 17



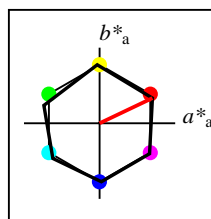
%Umfang
 $u^*_{rel} = 100$
%Regularität
 $g^*_{H,rel} = 78$
 $g^*_{C,rel} = 100$

NRS18	$L^*=L^*_a$	a^*_a	b^*_a	$C^*_{ab,a}$	$h^*_{ab,a}$
O _M	56.71	69.87	33.29	77.4	25
Y _M	56.71	-3.1	77.34	77.4	92
L _M	56.71	-73.68	23.63	77.39	162
C _M	56.71	-61.81	-46.54	77.39	217
V _M	56.71	2.35	-77.34	77.39	272
M _M	56.71	66.07	-40.3	77.4	329
N _M	18.01	0.0	0.0	0.0	0
W _M	95.41	0.0	0.0	0.0	0
R _{CIE}	39.92	58.74	27.99	65.07	25
J _{CIE}	81.26	-2.88	71.56	71.62	92
G _{CIE}	52.23	-42.41	13.6	44.55	162
B _{CIE}	30.57	1.41	-46.46	46.49	272



%Umfang
 $u^*_{rel} = 100$
%Regularität
 $g^*_{H,rel} = 78$
 $g^*_{C,rel} = 100$

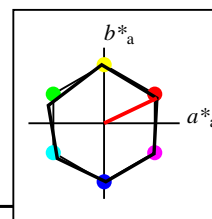
NRS18a; adaptierte CIELAB-Daten	$L^*=L^*_a$	a^*_a	b^*_a	$C^*_{ab,a}$	$h^*_{ab,a}$
O _{Ma}	56.71	69.87	33.29	77.4	25
Y _{Ma}	56.71	-3.1	77.34	77.4	92
L _{Ma}	56.71	-73.68	23.63	77.39	162
C _{Ma}	56.71	-61.81	-46.54	77.39	217
V _{Ma}	56.71	2.35	-77.34	77.39	272
M _{Ma}	56.71	66.07	-40.3	77.4	329
N _{Ma}	18.01	0.0	0.0	0.0	0
W _{Ma}	95.41	0.0	0.0	0.0	0
R _{CIE}	39.92	58.74	27.99	65.07	25
J _{CIE}	81.26	-2.88	71.56	71.62	92
G _{CIE}	52.23	-42.41	13.6	44.55	162
B _{CIE}	30.57	1.41	-46.46	46.49	272



%Umfang
 $u^*_{rel} = 100$
%Regularität
 $g^*_{H,rel} = 78$
 $g^*_{C,rel} = 100$

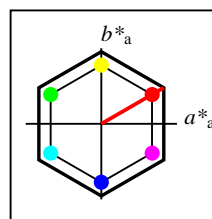
NRS18a; adaptierte CIELAB-Daten	$L^*=L^*_a$	a^*_a	b^*_a	$C^*_{ab,a}$	$h^*_{ab,a}$
O _{Ma}	56.71	69.87	33.29	77.4	25
Y _{Ma}	56.71	-3.1	77.34	77.4	92
L _{Ma}	56.71	-73.68	23.63	77.39	162
C _{Ma}	56.71	-61.81	-46.54	77.39	217
V _{Ma}	56.71	2.35	-77.34	77.39	272
M _{Ma}	56.71	66.07	-40.3	77.4	329
N _{Ma}	18.01	0.0	0.0	0.0	0
W _{Ma}	95.41	0.0	0.0	0.0	0
R _{CIE}	39.92	58.74	27.99	65.07	25
J _{CIE}	81.26	-2.88	71.56	71.62	92
G _{CIE}	52.23	-42.41	13.6	44.55	162
B _{CIE}	30.57	1.41	-46.46	46.49	272

Workflow-Wahlen
für Farbmuster:
1. keine Farbänderung
2. Buntton-Änderung
3. Buntheits-Änderung



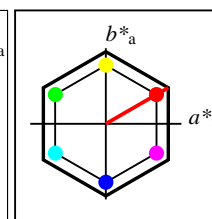
%Umfang
 $u^*_{rel} = 100$
%Regularität
 $g^*_{H,rel} = 78$
 $g^*_{C,rel} = 100$

NRS18a; adaptierte CIELAB-Daten	$L^*=L^*_a$	a^*_a	b^*_a	$C^*_{ab,a}$	$h^*_{ab,a}$
O _{Ma}	56.71	69.87	33.29	77.4	25
Y _{Ma}	56.71	-3.1	77.34	77.4	92
L _{Ma}	56.71	-73.68	23.63	77.39	162
C _{Ma}	56.71	-61.81	-46.54	77.39	217
V _{Ma}	56.71	2.35	-77.34	77.39	272
M _{Ma}	56.71	66.07	-40.3	77.4	329
N _{Ma}	18.01	0.0	0.0	0.0	0
W _{Ma}	95.41	0.0	0.0	0.0	0
R _{CIE}	39.92	58.74	27.99	65.07	25
J _{CIE}	81.26	-2.88	71.56	71.62	92
G _{CIE}	52.23	-42.41	13.6	44.55	162
B _{CIE}	30.57	1.41	-46.46	46.49	272



%Umfang
 $u^*_{rel} = 152$
%Regularität
 $g^*_{H,rel} = 100$
 $g^*_{C,rel} = 100$

NLS00a; adaptierte CIELAB-Daten	$L^*=L^*_a$	a^*_a	b^*_a	$C^*_{ab,a}$	$h^*_{ab,a}$
O _{Ma}	31.81	82.62	47.7	95.4	30
Y _{Ma}	63.61	0.0	95.4	95.4	90
L _{Ma}	31.81	-82.61	47.7	95.4	150
C _{Ma}	63.61	-82.61	-47.69	95.4	210
V _{Ma}	31.81	0.0	-95.39	95.4	270
M _{Ma}	63.61	82.62	-47.69	95.4	330
N _{Ma}	0.01	0.0	0.0	0.0	0
W _{Ma}	95.41	0.0	0.0	0.0	0
R _{CIE}	39.92	58.74	27.99	65.07	25
J _{CIE}	81.26	-2.88	71.56	71.62	92
G _{CIE}	52.23	-42.41	13.6	44.55	162
B _{CIE}	30.57	1.41	-46.46	46.49	272



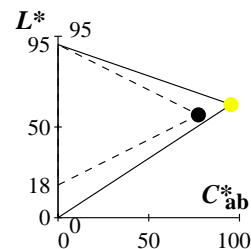
%Umfang
 $u^*_{rel} = 152$
%Regularität
 $g^*_{H,rel} = 100$
 $g^*_{C,rel} = 100$

NLS00	$L^*=L^*_a$	a^*_a	b^*_a	$C^*_{ab,a}$	$h^*_{ab,a}$
O _M	31.81	82.62	47.7	95.4	30
Y _M	63.61	0.0	95.4	95.4	90
L _M	31.81	-82.61	47.7	95.4	150
C _M	63.61	-82.61	-47.69	95.4	210
V _M	31.81	0.0	-95.39	95.4	270
M _M	63.61	82.62	-47.69	95.4	330
N _M	0.01	0.0	0.0	0.0	0
W _M	95.41	0.0	0.0	0.0	0
R _{CIE}	39.92	58.74	27.99	65.07	25
J _{CIE}	81.26	-2.88	71.56	71.62	92
G _{CIE}	52.23	-42.41	13.6	44.55	162
B _{CIE}	30.57	1.41	-46.46	46.49	272

Relatives CIELAB-Buntheitsdiagramm: ($a_R^* = lab^*a$, $b_R^* = lab^*b$) und absolutes CIELAB Bunttondreiecks-Diagramm: (L^* , C_{ab}^*) für Ein- (---) und Ausgabe (----) NRS18: Eingabe (i) Farbmatrik-Sytem; Sechs Bunttonwinkel des Farbgerätes: (25.5, 92.3, 162.2, 217.0, 271.7, 328.6); Vier Bunttonwinkel der Elementarfarben: (25.5, 92.3, 162.2, 271.7)
NLS00: Ausgabe (o) Farbmatrik-Sytem; Sechs Bunttonwinkel des Farbgerätes: (30.0, 90.0, 150.0, 210.0, 270.0, 330.0); Vier Bunttonwinkel der Elementarfarben: (25.5, 92.3, 162.2, 271.7)

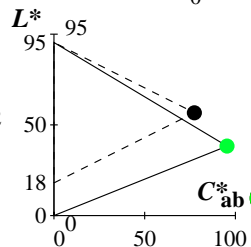
Y Gelb

$olv3Mi = 1.0 \ 1.0 \ 0.0$
 $olv3Mo = 0.962 \ 1.0 \ 0.0$
 $LCHMi = 56.7 \ 77.4 \ 92$
 $LCHo = 62.4 \ 95.4 \ 92$
 $tchMi = 0.5 \ 1.0 \ 0.256$
 $tchMo = 0.5 \ 1.0 \ 0.256$



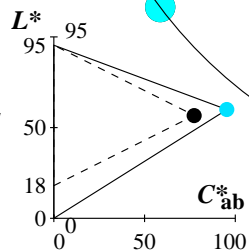
L Laubgrün

$olv3Mi = 0.0 \ 1.0 \ 0.0$
 $olv3Mo = 0.0 \ 1.0 \ 0.204$
 $LCHMi = 56.7 \ 77.4 \ 162$
 $LCHo = 38.3 \ 95.4 \ 162$
 $tchMi = 0.5 \ 1.0 \ 0.451$
 $tchMo = 0.5 \ 1.0 \ 0.451$



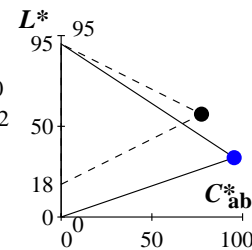
C Cyanblau

$olv3Mi = 0.0 \ 1.0 \ 1.0$
 $olv3Mo = 0.0 \ 0.884 \ 1.0$
 $LCHMi = 56.7 \ 77.4 \ 217$
 $LCHo = 59.9 \ 95.4 \ 217$
 $tchMi = 0.5 \ 1.0 \ 0.603$
 $tchMo = 0.5 \ 1.0 \ 0.603$



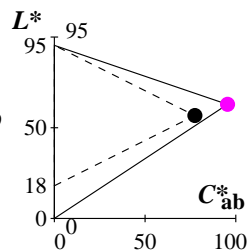
V Violettblau

$olv3Mi = 0.0 \ 0.0 \ 1.0$
 $olv3Mo = 0.029 \ 0.0 \ 1.0$
 $LCHMi = 56.7 \ 77.4 \ 272$
 $LCHo = 32.7 \ 95.4 \ 272$
 $tchMi = 0.5 \ 1.0 \ 0.755$
 $tchMo = 0.5 \ 1.0 \ 0.755$



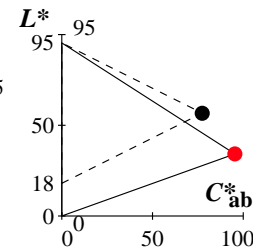
M Magentarot

$olv3Mi = 1.0 \ 0.0 \ 1.0$
 $olv3Mo = 0.977 \ 0.0 \ 1.0$
 $LCHMi = 56.7 \ 77.4 \ 329$
 $LCHo = 62.9 \ 95.4 \ 329$
 $tchMi = 0.5 \ 1.0 \ 0.913$
 $tchMo = 0.5 \ 1.0 \ 0.913$



O Orangerot

$olv3Mi = 1.0 \ 0.0 \ 0.0$
 $olv3Mo = 1.0 \ 0.0 \ 0.075$
 $LCHMi = 56.7 \ 77.4 \ 25$
 $LCHo = 34.2 \ 95.4 \ 25$
 $tchMi = 0.5 \ 1.0 \ 0.071$
 $tchMo = 0.5 \ 1.0 \ 0.071$



Keine Bunttonänderung der Ausgabefarbe M

Keine relative Buntheitsänderung der Ausgabefarbe M

Siehe ähnliche Dateien: <http://www.ps.bam.de/YG65/>
Technische Information: <http://www.ps.bam.de> Version 2.1, io=1,1

BAM-Registrierung: 20061101-YG65/10L/L65G50NP.PS/.PDF BAM-Material: Code=rh4ta
Anwendung für Beurteilung und Messung von Drucker- oder Monitorsystemen
/YG65/ Form: 18/8, Serie: 1/1, Seite: 18 Seite 18/32

Relatives CIELAB-Buntheitsdiagramm: ($a_R^* = lab^*a$, $b_R^* = lab^*b$) und absolutes CIELAB Bunttondreiecks-Diagramm: (L^* , C_{ab}^*) für Ein- (---) und Ausgabe (----) NRS18: Eingabe (i) Farbmatrik-Sytem; Sechs Bunttonwinkel des Farbgerätes: (25.5, 92.3, 162.2, 217.0, 271.7, 328.6); Vier Bunttonwinkel der Elementarfarben: (25.5, 92.3, 162.2, 271.7)
NLS00: Ausgabe (o) Farbmatrik-Sytem; Sechs Bunttonwinkel des Farbgerätes: (30.0, 90.0, 150.0, 210.0, 270.0, 330.0); Vier Bunttonwinkel der Elementarfarben: (25.5, 92.3, 162.2, 271.7)

Y Gelb

$olv3Mi = 1.0 \ 1.0 \ 0.0$
 $olv3Mo = 0.795 \ 1.0 \ 0.0$
 $LCHMi = 56.7 \ 77.4 \ 92$
 $LCHo = 57.1 \ 95.4 \ 102$
 $tchMi = 0.5 \ 1.0 \ 0.256$
 $tchMo = 0.5 \ 1.0 \ 0.284$

L Laubgrün

$olv3Mi = 0.0 \ 1.0 \ 0.0$
 $olv3Mo = 0.0 \ 1.0 \ 0.37$
 $LCHMi = 56.7 \ 77.4 \ 162$
 $LCHo = 43.6 \ 95.4 \ 172$
 $tchMi = 0.5 \ 1.0 \ 0.451$
 $tchMo = 0.5 \ 1.0 \ 0.478$

C Cyanblau

$olv3Mi = 0.0 \ 1.0 \ 1.0$
 $olv3Mo = 0.0 \ 0.717 \ 1.0$
 $LCHMi = 56.7 \ 77.4 \ 217$
 $LCHo = 54.6 \ 95.4 \ 227$
 $tchMi = 0.5 \ 1.0 \ 0.603$
 $tchMo = 0.5 \ 1.0 \ 0.631$

V Violettblau

$olv3Mi = 0.0 \ 0.0 \ 1.0$
 $olv3Mo = 0.196 \ 0.0 \ 1.0$
 $LCHMi = 56.7 \ 77.4 \ 272$
 $LCHo = 38.0 \ 95.4 \ 282$
 $tchMi = 0.5 \ 1.0 \ 0.755$
 $tchMo = 0.5 \ 1.0 \ 0.783$

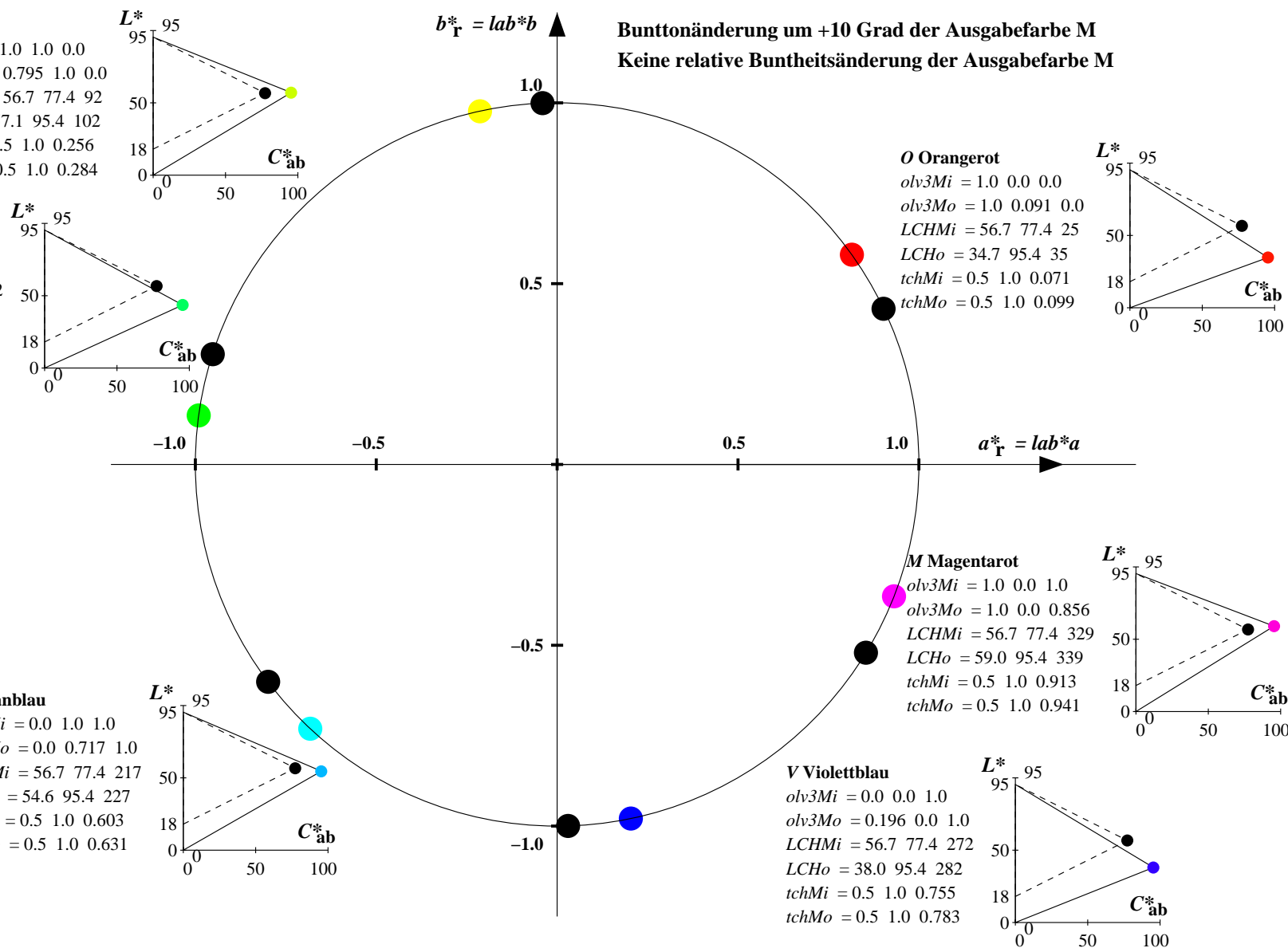
M Magentarot

$olv3Mi = 1.0 \ 0.0 \ 1.0$
 $olv3Mo = 1.0 \ 0.0 \ 0.856$
 $LCHMi = 56.7 \ 77.4 \ 329$
 $LCHo = 59.0 \ 95.4 \ 339$
 $tchMi = 0.5 \ 1.0 \ 0.913$
 $tchMo = 0.5 \ 1.0 \ 0.941$

O Orangerot

$olv3Mi = 1.0 \ 0.0 \ 0.0$
 $olv3Mo = 1.0 \ 0.091 \ 0.0$
 $LCHMi = 56.7 \ 77.4 \ 25$
 $LCHo = 34.7 \ 95.4 \ 35$
 $tchMi = 0.5 \ 1.0 \ 0.071$
 $tchMo = 0.5 \ 1.0 \ 0.099$

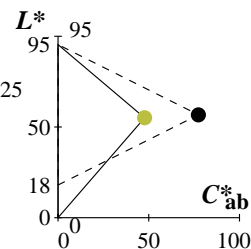
Bunttonänderung um +10 Grad der Ausgabefarbe M
Keine relative Buntheitsänderung der Ausgabefarbe M



Relatives CIELAB-Buntheitsdiagramm: ($a_R^* = lab^*a$, $b_R^* = lab^*b$) und absolutes CIELAB Bunttondreiecks-Diagramm: (L^* , C_{ab}^*) für Ein- (---) und Ausgabe (----) NRS18: Eingabe (i) Farbmatrik-Sytem; Sechs Bunttonwinkel des Farbgerätes: (25.5, 92.3, 162.2, 217.0, 271.7, 328.6); Vier Bunttonwinkel der Elementarfarben: (25.5, 92.3, 162.2, 271.7) NLS00: Ausgabe (o) Farbmatrik-Sytem; Sechs Bunttonwinkel des Farbgerätes: (30.0, 90.0, 150.0, 210.0, 270.0, 330.0); Vier Bunttonwinkel der Elementarfarben: (25.5, 92.3, 162.2, 271.7)

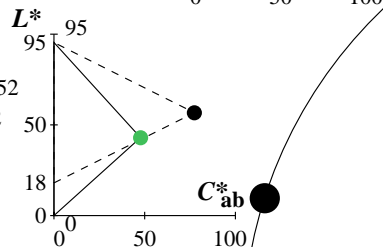
Y Gelb

olv3Mi = 1.0 1.0 0.0
olv3Mo = 0.731 0.75 0.25
LCHMi = 56.7 77.4 92
LCHo = 55.0 47.7 92
tchMi = 0.5 1.0 0.256
tchMo = 0.5 0.5 0.256



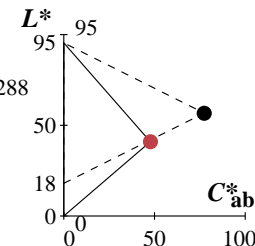
L Laubgrün

olv3Mi = 0.0 1.0 0.0
olv3Mo = 0.25 0.75 0.352
LCHMi = 56.7 77.4 162
LCHo = 43.0 47.7 162
tchMi = 0.5 1.0 0.451
tchMo = 0.5 0.5 0.451



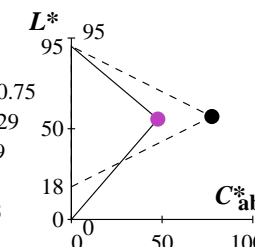
O Orangerot

olv3Mi = 1.0 0.0 0.0
olv3Mo = 0.75 0.25 0.288
LCHMi = 56.7 77.4 25
LCHo = 41.0 47.7 25
tchMi = 0.5 1.0 0.071
tchMo = 0.5 0.5 0.071



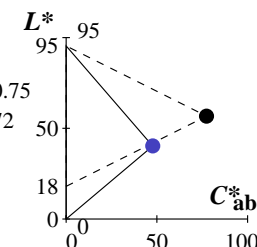
M Magentarot

olv3Mi = 1.0 0.0 1.0
olv3Mo = 0.738 0.25 0.75
LCHMi = 56.7 77.4 329
LCHo = 55.3 47.7 329
tchMi = 0.5 1.0 0.913
tchMo = 0.5 0.5 0.913



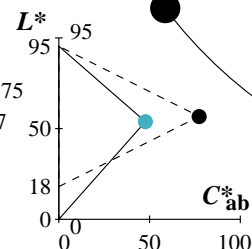
V Violettblau

olv3Mi = 0.0 0.0 1.0
olv3Mo = 0.265 0.25 0.75
LCHMi = 56.7 77.4 272
LCHo = 40.2 47.7 272
tchMi = 0.5 1.0 0.755
tchMo = 0.5 0.5 0.755



C Cyanblau

olv3Mi = 0.0 1.0 1.0
olv3Mo = 0.25 0.692 0.75
LCHMi = 56.7 77.4 217
LCHo = 53.8 47.7 217
tchMi = 0.5 1.0 0.603
tchMo = 0.5 0.5 0.603

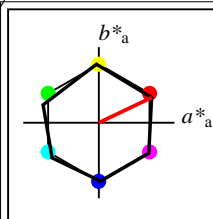


Keine Bunttonänderung der Ausgabefarbe M

Änderung auf halbe relative Buntheit der Ausgabefarbe M

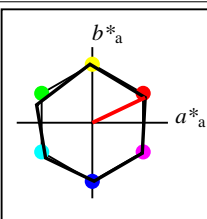
Siehe ähnliche Dateien: <http://www.ps.bam.de/YG65/>
Technische Information: <http://www.ps.bam.de> Version 2.1, io=1,1

BAM-Registrierung: 20061101-YG65/10L/L65G50NP.PS/.PDF BAM-Material: Code=rh4ta
Anwendung für Beurteilung und Messung von Drucker- oder Monitorsystemen
/YG65/ Form: 208, Serie: 1/1, Seite: 20 Seite 20/32



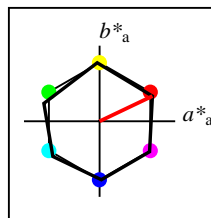
%Umfang
 $u^*_{rel} = 100$
%Regularität
 $g^*_{H,rel} = 78$
 $g^*_{C,rel} = 100$

NRS18	$L^*=L^*_a$	a^*_a	b^*_a	$C^*_{ab,a}$	$h^*_{ab,a}$
O _M	56.71	69.87	33.29	77.4	25
Y _M	56.71	-3.1	77.34	77.4	92
L _M	56.71	-73.68	23.63	77.39	162
C _M	56.71	-61.81	-46.54	77.39	217
V _M	56.71	2.35	-77.34	77.39	272
M _M	56.71	66.07	-40.3	77.4	329
N _M	18.01	0.0	0.0	0.0	0
W _M	95.41	0.0	0.0	0.0	0
R _{CIE}	39.92	58.74	27.99	65.07	25
J _{CIE}	81.26	-2.88	71.56	71.62	92
G _{CIE}	52.23	-42.41	13.6	44.55	162
B _{CIE}	30.57	1.41	-46.46	46.49	272



%Umfang
 $u^*_{rel} = 100$
%Regularität
 $g^*_{H,rel} = 78$
 $g^*_{C,rel} = 100$

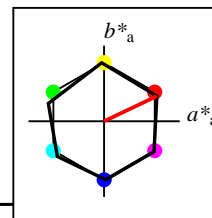
NRS18a; adaptierte CIELAB-Daten	$L^*=L^*_a$	a^*_a	b^*_a	$C^*_{ab,a}$	$h^*_{ab,a}$
O _{Ma}	56.71	69.87	33.29	77.4	25
Y _{Ma}	56.71	-3.1	77.34	77.4	92
L _{Ma}	56.71	-73.68	23.63	77.39	162
C _{Ma}	56.71	-61.81	-46.54	77.39	217
V _{Ma}	56.71	2.35	-77.34	77.39	272
M _{Ma}	56.71	66.07	-40.3	77.4	329
N _{Ma}	18.01	0.0	0.0	0.0	0
W _{Ma}	95.41	0.0	0.0	0.0	0
R _{CIE}	39.92	58.74	27.99	65.07	25
J _{CIE}	81.26	-2.88	71.56	71.62	92
G _{CIE}	52.23	-42.41	13.6	44.55	162
B _{CIE}	30.57	1.41	-46.46	46.49	272



%Umfang
 $u^*_{rel} = 100$
%Regularität
 $g^*_{H,rel} = 78$
 $g^*_{C,rel} = 100$

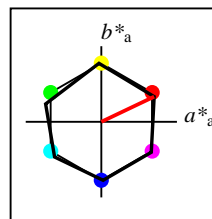
NRS18a; adaptierte CIELAB-Daten	$L^*=L^*_a$	a^*_a	b^*_a	$C^*_{ab,a}$	$h^*_{ab,a}$
O _{Ma}	56.71	69.87	33.29	77.4	25
Y _{Ma}	56.71	-3.1	77.34	77.4	92
L _{Ma}	56.71	-73.68	23.63	77.39	162
C _{Ma}	56.71	-61.81	-46.54	77.39	217
V _{Ma}	56.71	2.35	-77.34	77.39	272
M _{Ma}	56.71	66.07	-40.3	77.4	329
N _{Ma}	18.01	0.0	0.0	0.0	0
W _{Ma}	95.41	0.0	0.0	0.0	0
R _{CIE}	39.92	58.74	27.99	65.07	25
J _{CIE}	81.26	-2.88	71.56	71.62	92
G _{CIE}	52.23	-42.41	13.6	44.55	162
B _{CIE}	30.57	1.41	-46.46	46.49	272

Workflow-Wahlen
für Farbmuster:
1. keine Farbänderung
2. Buntton-Änderung
3. Buntheits-Änderung



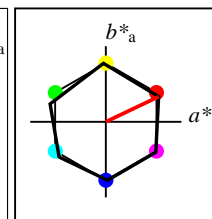
%Umfang
 $u^*_{rel} = 100$
%Regularität
 $g^*_{H,rel} = 78$
 $g^*_{C,rel} = 100$

NRS18a; adaptierte CIELAB-Daten	$L^*=L^*_a$	a^*_a	b^*_a	$C^*_{ab,a}$	$h^*_{ab,a}$
O _{Ma}	56.71	69.87	33.29	77.4	25
Y _{Ma}	56.71	-3.1	77.34	77.4	92
L _{Ma}	56.71	-73.68	23.63	77.39	162
C _{Ma}	56.71	-61.81	-46.54	77.39	217
V _{Ma}	56.71	2.35	-77.34	77.39	272
M _{Ma}	56.71	66.07	-40.3	77.4	329
N _{Ma}	18.01	0.0	0.0	0.0	0
W _{Ma}	95.41	0.0	0.0	0.0	0
R _{CIE}	39.92	58.74	27.99	65.07	25
J _{CIE}	81.26	-2.88	71.56	71.62	92
G _{CIE}	52.23	-42.41	13.6	44.55	162
B _{CIE}	30.57	1.41	-46.46	46.49	272



%Umfang
 $u^*_{rel} = 100$
%Regularität
 $g^*_{H,rel} = 78$
 $g^*_{C,rel} = 100$

NRS18a; adaptierte CIELAB-Daten	$L^*=L^*_a$	a^*_a	b^*_a	$C^*_{ab,a}$	$h^*_{ab,a}$
O _{Ma}	56.71	69.87	33.29	77.4	25
Y _{Ma}	56.71	-3.1	77.34	77.4	92
L _{Ma}	56.71	-73.68	23.63	77.39	162
C _{Ma}	56.71	-61.81	-46.54	77.39	217
V _{Ma}	56.71	2.35	-77.34	77.39	272
M _{Ma}	56.71	66.07	-40.3	77.4	329
N _{Ma}	18.01	0.0	0.0	0.0	0
W _{Ma}	95.41	0.0	0.0	0.0	0
R _{CIE}	39.92	58.74	27.99	65.07	25
J _{CIE}	81.26	-2.88	71.56	71.62	92
G _{CIE}	52.23	-42.41	13.6	44.55	162
B _{CIE}	30.57	1.41	-46.46	46.49	272



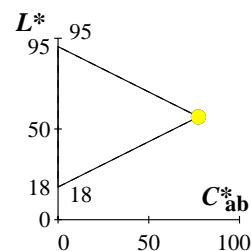
%Umfang
 $u^*_{rel} = 100$
%Regularität
 $g^*_{H,rel} = 78$
 $g^*_{C,rel} = 100$

NRS18	$L^*=L^*_a$	a^*_a	b^*_a	$C^*_{ab,a}$	$h^*_{ab,a}$
O _M	56.71	69.87	33.29	77.4	25
Y _M	56.71	-3.1	77.34	77.4	92
L _M	56.71	-73.68	23.63	77.39	162
C _M	56.71	-61.81	-46.54	77.39	217
V _M	56.71	2.35	-77.34	77.39	272
M _M	56.71	66.07	-40.3	77.4	329
N _M	18.01	0.0	0.0	0.0	0
W _M	95.41	0.0	0.0	0.0	0
R _{CIE}	39.92	58.74	27.99	65.07	25
J _{CIE}	81.26	-2.88	71.56	71.62	92
G _{CIE}	52.23	-42.41	13.6	44.55	162
B _{CIE}	30.57	1.41	-46.46	46.49	272

Relatives CIELAB-Buntheitsdiagramm: ($a_R^* = lab^*a$, $b_R^* = lab^*b$) und absolutes CIELAB Bunttondreiecks-Diagramm: (L^* , C_{ab}^*) für Ein- (---) und Ausgabe (----) NRS18: Eingabe (i) Farbmatrik-Sytem; Sechs Bunttonwinkel des Farbgerätes: (25.5, 92.3, 162.2, 217.0, 271.7, 328.6); Vier Bunttonwinkel der Elementarfarben: (25.5, 92.3, 162.2, 271.7)
NRS18: Ausgabe (o) Farbmatrik-Sytem; Sechs Bunttonwinkel des Farbgerätes: (25.5, 92.3, 162.2, 217.0, 271.7, 328.6); Vier Bunttonwinkel der Elementarfarben: (25.5, 92.3, 162.2, 271.7)

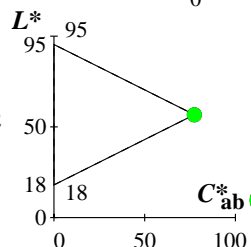
Y Gelb

olv3Mi = 1.0 1.0 0.0
olv3Mo = 1.0 1.0 0.0
LCHMi = 56.7 77.4 92
LCHo = 56.7 77.4 92
tchMi = 0.5 1.0 0.256
tchMo = 0.5 1.0 0.256



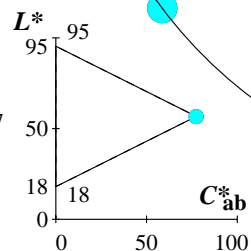
L Laubgrün

olv3Mi = 0.0 1.0 0.0
olv3Mo = 0.0 1.0 0.0
LCHMi = 56.7 77.4 162
LCHo = 56.7 77.4 162
tchMi = 0.5 1.0 0.451
tchMo = 0.5 1.0 0.451



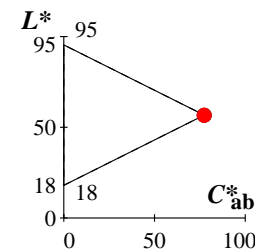
C Cyanblau

olv3Mi = 0.0 1.0 1.0
olv3Mo = 0.0 1.0 1.0
LCHMi = 56.7 77.4 217
LCHo = 56.7 77.4 217
tchMi = 0.5 1.0 0.603
tchMo = 0.5 1.0 0.603



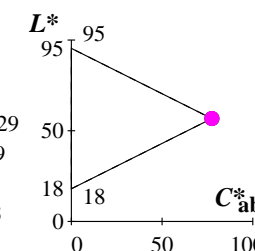
O Orangerot

olv3Mi = 1.0 0.0 0.0
olv3Mo = 1.0 0.0 0.0
LCHMi = 56.7 77.4 25
LCHo = 56.7 77.4 25
tchMi = 0.5 1.0 0.071
tchMo = 0.5 1.0 0.071



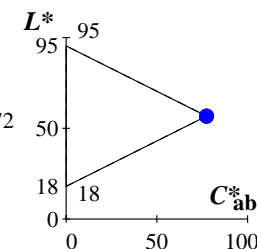
M Magentarot

olv3Mi = 1.0 0.0 1.0
olv3Mo = 1.0 0.0 1.0
LCHMi = 56.7 77.4 329
LCHo = 56.7 77.4 329
tchMi = 0.5 1.0 0.913
tchMo = 0.5 1.0 0.913



V Violettblau

olv3Mi = 0.0 0.0 1.0
olv3Mo = 0.0 0.0 1.0
LCHMi = 56.7 77.4 272
LCHo = 56.7 77.4 272
tchMi = 0.5 1.0 0.755
tchMo = 0.5 1.0 0.755



Keine Bunttonänderung der Ausgabefarbe M

Keine relative Buntheitsänderung der Ausgabefarbe M

Relatives CIELAB-Buntheitsdiagramm: ($a_R^* = lab^*a$, $b_R^* = lab^*b$) und absolutes CIELAB Bunttondreiecks-Diagramm: (L^* , C_{ab}^*) für Ein- (---) und Ausgabe (----) NRS18: Eingabe (i) Farbmatrik-Sytem; Sechs Bunttonwinkel des Farbgerätes: (25.5, 92.3, 162.2, 217.0, 271.7, 328.6); Vier Bunttonwinkel der Elementarfarben: (25.5, 92.3, 162.2, 271.7)
NRS18: Ausgabe (o) Farbmatrik-Sytem; Sechs Bunttonwinkel des Farbgerätes: (25.5, 92.3, 162.2, 217.0, 271.7, 328.6); Vier Bunttonwinkel der Elementarfarben: (25.5, 92.3, 162.2, 271.7)

Y Gelb

olv3Mi = 1.0 1.0 0.0
olv3Mo = 0.857 1.0 0.0
LCHMi = 56.7 77.4 92
LCHo = 56.7 77.4 102
tchMi = 0.5 1.0 0.256
tchMo = 0.5 1.0 0.284

L Laubgrün

olv3Mi = 0.0 1.0 0.0
olv3Mo = 0.0 1.0 0.183
LCHMi = 56.7 77.4 162
LCHo = 56.7 77.4 172
tchMi = 0.5 1.0 0.451
tchMo = 0.5 1.0 0.478

C Cyanblau

olv3Mi = 0.0 1.0 1.0
olv3Mo = 0.0 0.817 1.0
LCHMi = 56.7 77.4 217
LCHo = 56.7 77.4 227
tchMi = 0.5 1.0 0.603
tchMo = 0.5 1.0 0.631

O Orangerot

olv3Mi = 1.0 0.0 0.0
olv3Mo = 1.0 0.15 0.0
LCHMi = 56.7 77.4 25
LCHo = 56.7 77.4 35
tchMi = 0.5 1.0 0.071
tchMo = 0.5 1.0 0.099

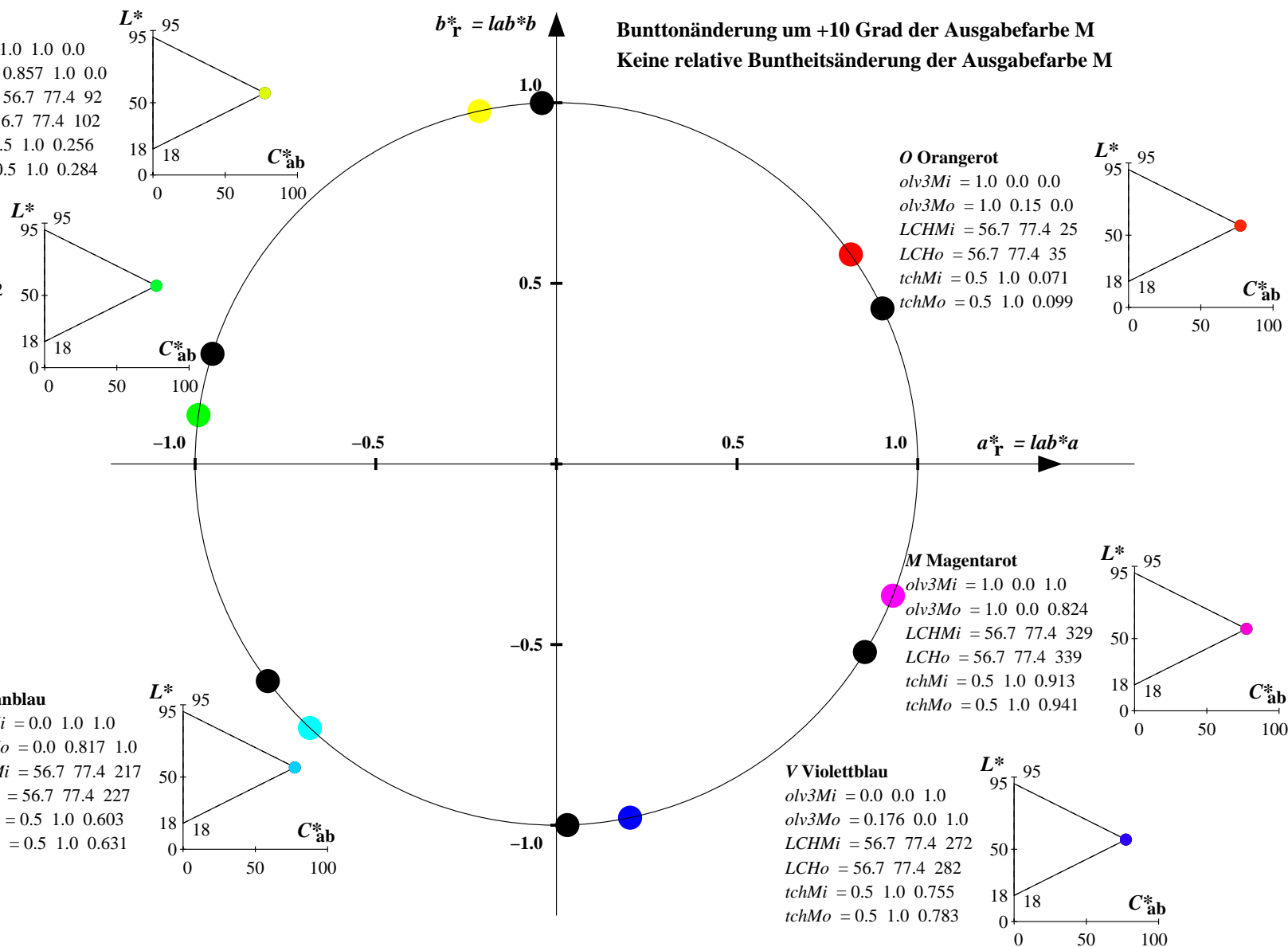
M Magentarot

olv3Mi = 1.0 0.0 1.0
olv3Mo = 1.0 0.0 0.824
LCHMi = 56.7 77.4 329
LCHo = 56.7 77.4 339
tchMi = 0.5 1.0 0.913
tchMo = 0.5 1.0 0.941

V Violettblau

olv3Mi = 0.0 0.0 1.0
olv3Mo = 0.176 0.0 1.0
LCHMi = 56.7 77.4 272
LCHo = 56.7 77.4 282
tchMi = 0.5 1.0 0.755
tchMo = 0.5 1.0 0.783

Bunttonänderung um +10 Grad der Ausgabefarbe M
Keine relative Buntheitsänderung der Ausgabefarbe M



Relatives CIELAB-Buntheitsdiagramm: ($a^*_r = lab^*a$, $b^*_r = lab^*b$) und absolutes CIELAB Bunttondreiecks-Diagramm: (L^* , C^*_{ab}) für Ein- (---) und Ausgabe (----) NRS18: Eingabe (i) Farbmatrik-Sytem; Sechs Bunttonwinkel des Farbgerätes: (25.5, 92.3, 162.2, 217.0, 271.7, 328.6); Vier Bunttonwinkel der Elementarfarben: (25.5, 92.3, 162.2, 271.7)
NRS18: Ausgabe (o) Farbmatrik-Sytem; Sechs Bunttonwinkel des Farbgerätes: (25.5, 92.3, 162.2, 217.0, 271.7, 328.6); Vier Bunttonwinkel der Elementarfarben: (25.5, 92.3, 162.2, 271.7)

Y Gelb

$olv3Mi = 1.0 \ 1.0 \ 0.0$
 $olv3Mo = 0.75 \ 0.75 \ 0.25$
 $LCHMi = 56.7 \ 77.4 \ 92$
 $LCHo = 52.2 \ 38.7 \ 92$
 $tchMi = 0.5 \ 1.0 \ 0.256$
 $tchMo = 0.5 \ 0.5 \ 0.256$

L Laubgrün

$olv3Mi = 0.0 \ 1.0 \ 0.0$
 $olv3Mo = 0.25 \ 0.75 \ 0.25$
 $LCHMi = 56.7 \ 77.4 \ 162$
 $LCHo = 52.2 \ 38.7 \ 162$
 $tchMi = 0.5 \ 1.0 \ 0.451$
 $tchMo = 0.5 \ 0.5 \ 0.451$

C Cyanblau

$olv3Mi = 0.0 \ 1.0 \ 1.0$
 $olv3Mo = 0.25 \ 0.75 \ 0.75$
 $LCHMi = 56.7 \ 77.4 \ 217$
 $LCHo = 52.2 \ 38.7 \ 217$
 $tchMi = 0.5 \ 1.0 \ 0.603$
 $tchMo = 0.5 \ 0.5 \ 0.603$

V Violettblau

$olv3Mi = 0.0 \ 0.0 \ 1.0$
 $olv3Mo = 0.25 \ 0.25 \ 0.75$
 $LCHMi = 56.7 \ 77.4 \ 272$
 $LCHo = 52.2 \ 38.7 \ 272$
 $tchMi = 0.5 \ 1.0 \ 0.755$
 $tchMo = 0.5 \ 0.5 \ 0.755$

M Magentarot

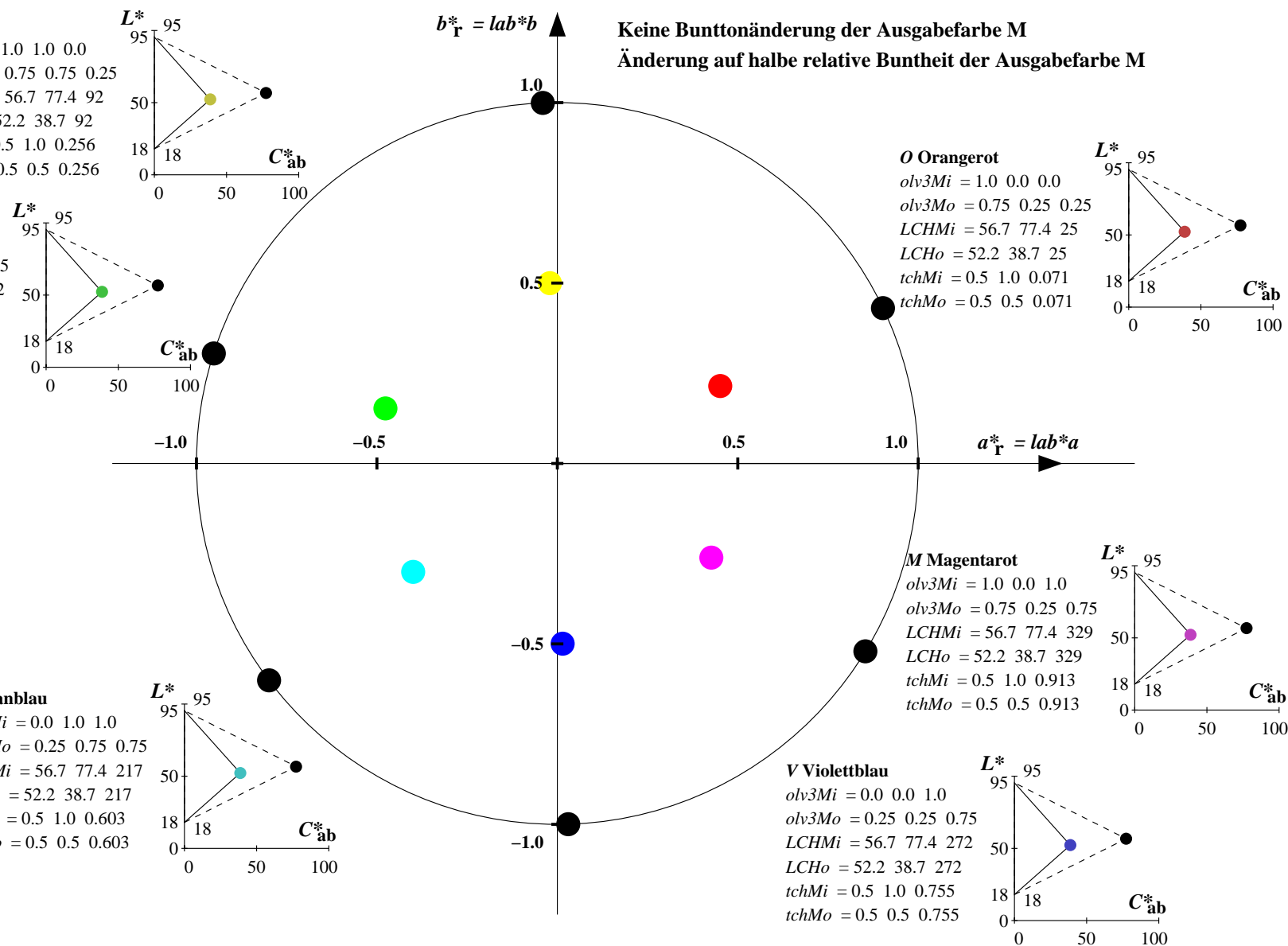
$olv3Mi = 1.0 \ 0.0 \ 1.0$
 $olv3Mo = 0.75 \ 0.25 \ 0.75$
 $LCHMi = 56.7 \ 77.4 \ 329$
 $LCHo = 52.2 \ 38.7 \ 329$
 $tchMi = 0.5 \ 1.0 \ 0.913$
 $tchMo = 0.5 \ 0.5 \ 0.913$

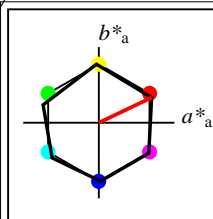
O Orangerot

$olv3Mi = 1.0 \ 0.0 \ 0.0$
 $olv3Mo = 0.75 \ 0.25 \ 0.25$
 $LCHMi = 56.7 \ 77.4 \ 25$
 $LCHo = 52.2 \ 38.7 \ 25$
 $tchMi = 0.5 \ 1.0 \ 0.071$
 $tchMo = 0.5 \ 0.5 \ 0.071$

Keine Bunttonänderung der Ausgabefarbe M

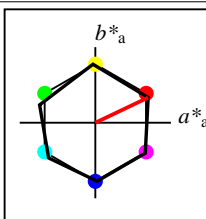
Änderung auf halbe relative Buntheit der Ausgabefarbe M





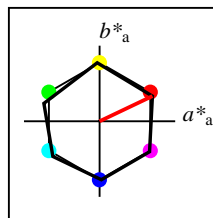
%Umfang
 $u^*_{rel} = 100$
%Regularität
 $g^*_{H,rel} = 78$
 $g^*_{C,rel} = 100$

NRS18	$L^*=L^*_a$	a^*_a	b^*_a	$C^*_{ab,a}$	$h^*_{ab,a}$
O _M	56.71	69.87	33.29	77.4	25
Y _M	56.71	-3.1	77.34	77.4	92
L _M	56.71	-73.68	23.63	77.39	162
C _M	56.71	-61.81	-46.54	77.39	217
V _M	56.71	2.35	-77.34	77.39	272
M _M	56.71	66.07	-40.3	77.4	329
N _M	18.01	0.0	0.0	0.0	0
W _M	95.41	0.0	0.0	0.0	0
R _{CIE}	39.92	58.74	27.99	65.07	25
J _{CIE}	81.26	-2.88	71.56	71.62	92
G _{CIE}	52.23	-42.41	13.6	44.55	162
B _{CIE}	30.57	1.41	-46.46	46.49	272



%Umfang
 $u^*_{rel} = 100$
%Regularität
 $g^*_{H,rel} = 78$
 $g^*_{C,rel} = 100$

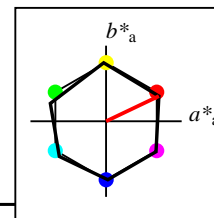
NRS18a; adaptierte CIELAB-Daten	$L^*=L^*_a$	a^*_a	b^*_a	$C^*_{ab,a}$	$h^*_{ab,a}$
O _{Ma}	56.71	69.87	33.29	77.4	25
Y _{Ma}	56.71	-3.1	77.34	77.4	92
L _{Ma}	56.71	-73.68	23.63	77.39	162
C _{Ma}	56.71	-61.81	-46.54	77.39	217
V _{Ma}	56.71	2.35	-77.34	77.39	272
M _{Ma}	56.71	66.07	-40.3	77.4	329
N _{Ma}	18.01	0.0	0.0	0.0	0
W _{Ma}	95.41	0.0	0.0	0.0	0
R _{CIE}	39.92	58.74	27.99	65.07	25
J _{CIE}	81.26	-2.88	71.56	71.62	92
G _{CIE}	52.23	-42.41	13.6	44.55	162
B _{CIE}	30.57	1.41	-46.46	46.49	272



%Umfang
 $u^*_{rel} = 100$
%Regularität
 $g^*_{H,rel} = 78$
 $g^*_{C,rel} = 100$

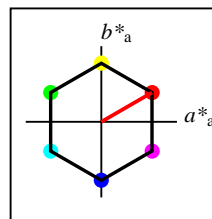
NRS18a; adaptierte CIELAB-Daten	$L^*=L^*_a$	a^*_a	b^*_a	$C^*_{ab,a}$	$h^*_{ab,a}$
O _{Ma}	56.71	69.87	33.29	77.4	25
Y _{Ma}	56.71	-3.1	77.34	77.4	92
L _{Ma}	56.71	-73.68	23.63	77.39	162
C _{Ma}	56.71	-61.81	-46.54	77.39	217
V _{Ma}	56.71	2.35	-77.34	77.39	272
M _{Ma}	56.71	66.07	-40.3	77.4	329
N _{Ma}	18.01	0.0	0.0	0.0	0
W _{Ma}	95.41	0.0	0.0	0.0	0
R _{CIE}	39.92	58.74	27.99	65.07	25
J _{CIE}	81.26	-2.88	71.56	71.62	92
G _{CIE}	52.23	-42.41	13.6	44.55	162
B _{CIE}	30.57	1.41	-46.46	46.49	272

Workflow-Wahlen
für Farbmuster:
1. keine Farbänderung
2. Buntton-Änderung
3. Buntheits-Änderung



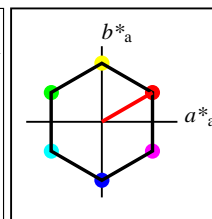
%Umfang
 $u^*_{rel} = 100$
%Regularität
 $g^*_{H,rel} = 78$
 $g^*_{C,rel} = 100$

NRS18a; adaptierte CIELAB-Daten	$L^*=L^*_a$	a^*_a	b^*_a	$C^*_{ab,a}$	$h^*_{ab,a}$
O _{Ma}	56.71	69.87	33.29	77.4	25
Y _{Ma}	56.71	-3.1	77.34	77.4	92
L _{Ma}	56.71	-73.68	23.63	77.39	162
C _{Ma}	56.71	-61.81	-46.54	77.39	217
V _{Ma}	56.71	2.35	-77.34	77.39	272
M _{Ma}	56.71	66.07	-40.3	77.4	329
N _{Ma}	18.01	0.0	0.0	0.0	0
W _{Ma}	95.41	0.0	0.0	0.0	0
R _{CIE}	39.92	58.74	27.99	65.07	25
J _{CIE}	81.26	-2.88	71.56	71.62	92
G _{CIE}	52.23	-42.41	13.6	44.55	162
B _{CIE}	30.57	1.41	-46.46	46.49	272



%Umfang
 $u^*_{rel} = 100$
%Regularität
 $g^*_{H,rel} = 100$
 $g^*_{C,rel} = 100$

SRS18a; adaptierte CIELAB-Daten	$L^*=L^*_a$	a^*_a	b^*_a	$C^*_{ab,a}$	$h^*_{ab,a}$
O _{Ma}	56.71	67.03	38.7	77.4	30
Y _{Ma}	56.71	0.0	77.4	77.4	90
L _{Ma}	56.71	-67.02	38.7	77.4	150
C _{Ma}	56.71	-67.02	-38.69	77.4	210
V _{Ma}	56.71	0.0	-77.39	77.4	270
M _{Ma}	56.71	67.03	-38.69	77.4	330
N _{Ma}	18.01	0.0	0.0	0.0	0
W _{Ma}	95.41	0.0	0.0	0.0	0
R _{CIE}	39.92	58.74	27.99	65.07	25
J _{CIE}	81.26	-2.88	71.56	71.62	92
G _{CIE}	52.23	-42.41	13.6	44.55	162
B _{CIE}	30.57	1.41	-46.46	46.49	272



%Umfang
 $u^*_{rel} = 100$
%Regularität
 $g^*_{H,rel} = 100$
 $g^*_{C,rel} = 100$

SRS18	$L^*=L^*_a$	a^*_a	b^*_a	$C^*_{ab,a}$	$h^*_{ab,a}$
O _M	56.71	67.03	38.7	77.4	30
Y _M	56.71	0.0	77.4	77.4	90
L _M	56.71	-67.02	38.7	77.4	150
C _M	56.71	-67.02	-38.69	77.4	210
V _M	56.71	0.0	-77.39	77.4	270
M _M	56.71	67.03	-38.69	77.4	330
N _M	18.01	0.0	0.0	0.0	0
W _M	95.41	0.0	0.0	0.0	0
R _{CIE}	39.92	58.74	27.99	65.07	25
J _{CIE}	81.26	-2.88	71.56	71.62	92
G _{CIE}	52.23	-42.41	13.6	44.55	162
B _{CIE}	30.57	1.41	-46.46	46.49	272

Relatives CIELAB-Buntheitsdiagramm: ($a_R^* = lab^*a$, $b_R^* = lab^*b$) und absolutes CIELAB Bunttondreiecks-Diagramm: (L^* , C_{ab}^*) für Ein- (---) und Ausgabe (----)
NRS18: Eingabe (i) Farbmatrik-Sytem; Sechs Bunttonwinkel des Farbgerätes: (25.5, 92.3, 162.2, 217.0, 271.7, 328.6); Vier Bunttonwinkel der Elementarfarben: (25.5, 92.3, 162.2, 271.7)
SRS18: Ausgabe (o) Farbmatrik-Sytem; Sechs Bunttonwinkel des Farbgerätes: (30.0, 90.0, 150.0, 210.0, 270.0, 330.0); Vier Bunttonwinkel der Elementarfarben: (25.5, 92.3, 162.2, 271.7)

Y Gelb

$olv3Mi = 1.0 \ 1.0 \ 0.0$
 $olv3Mo = 0.962 \ 1.0 \ 0.0$
 $LCHMi = 56.7 \ 77.4 \ 92$
 $LCHo = 56.7 \ 77.4 \ 92$
 $tchMi = 0.5 \ 1.0 \ 0.256$
 $tchMo = 0.5 \ 1.0 \ 0.256$

L Laubgrün

$olv3Mi = 0.0 \ 1.0 \ 0.0$
 $olv3Mo = 0.0 \ 1.0 \ 0.204$
 $LCHMi = 56.7 \ 77.4 \ 162$
 $LCHo = 56.7 \ 77.4 \ 162$
 $tchMi = 0.5 \ 1.0 \ 0.451$
 $tchMo = 0.5 \ 1.0 \ 0.451$

C Cyanblau

$olv3Mi = 0.0 \ 1.0 \ 1.0$
 $olv3Mo = 0.0 \ 0.884 \ 1.0$
 $LCHMi = 56.7 \ 77.4 \ 217$
 $LCHo = 56.7 \ 77.4 \ 217$
 $tchMi = 0.5 \ 1.0 \ 0.603$
 $tchMo = 0.5 \ 1.0 \ 0.603$

V Violettblau

$olv3Mi = 0.0 \ 0.0 \ 1.0$
 $olv3Mo = 0.029 \ 0.0 \ 1.0$
 $LCHMi = 56.7 \ 77.4 \ 272$
 $LCHo = 56.7 \ 77.4 \ 272$
 $tchMi = 0.5 \ 1.0 \ 0.755$
 $tchMo = 0.5 \ 1.0 \ 0.755$

M Magentarot

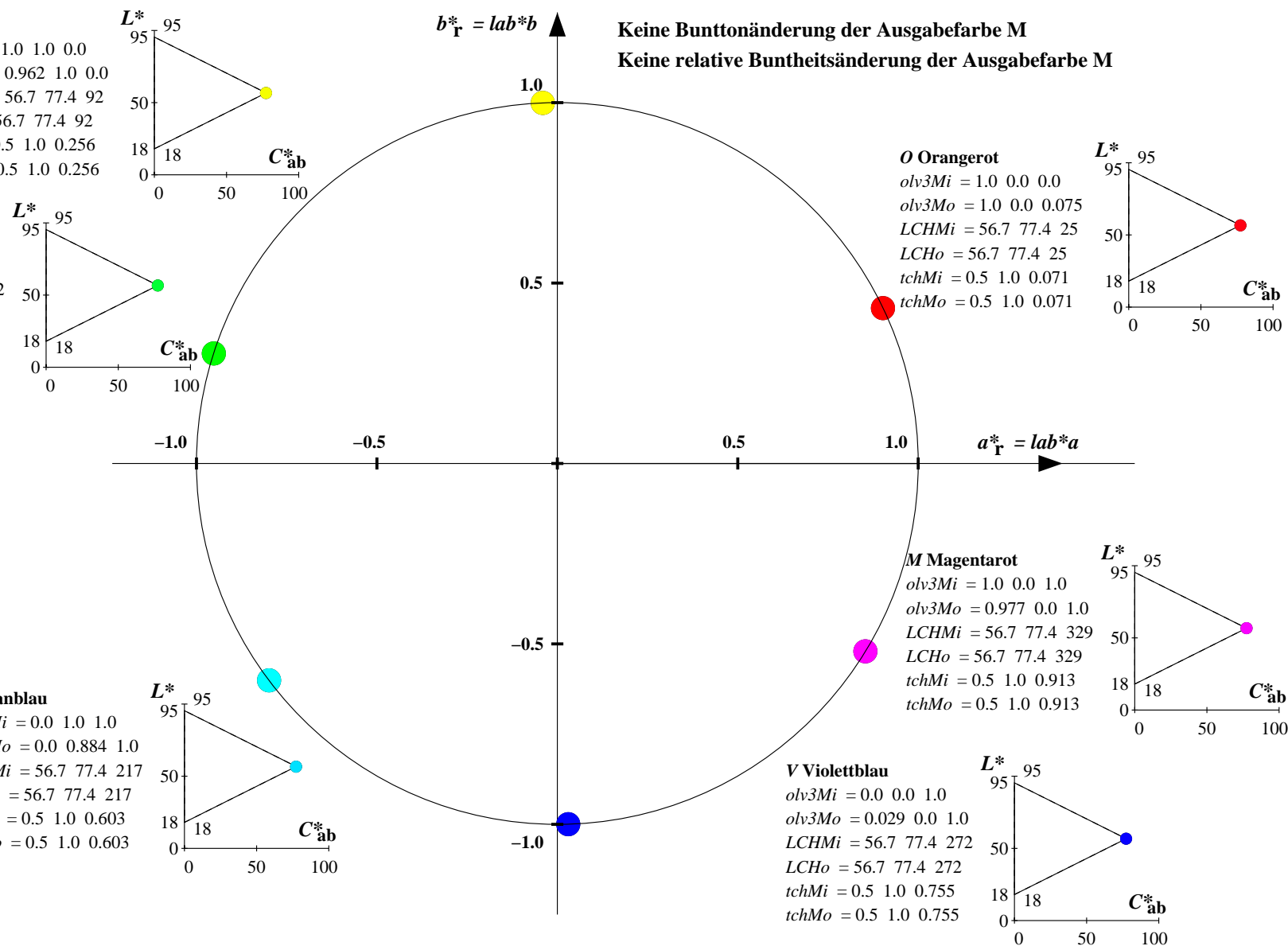
$olv3Mi = 1.0 \ 0.0 \ 1.0$
 $olv3Mo = 0.977 \ 0.0 \ 1.0$
 $LCHMi = 56.7 \ 77.4 \ 329$
 $LCHo = 56.7 \ 77.4 \ 329$
 $tchMi = 0.5 \ 1.0 \ 0.913$
 $tchMo = 0.5 \ 1.0 \ 0.913$

O Orangerot

$olv3Mi = 1.0 \ 0.0 \ 0.0$
 $olv3Mo = 1.0 \ 0.0 \ 0.075$
 $LCHMi = 56.7 \ 77.4 \ 25$
 $LCHo = 56.7 \ 77.4 \ 25$
 $tchMi = 0.5 \ 1.0 \ 0.071$
 $tchMo = 0.5 \ 1.0 \ 0.071$

Keine Bunttonänderung der Ausgabefarbe M

Keine relative Buntheitsänderung der Ausgabefarbe M



Relatives CIELAB-Buntheitsdiagramm: ($a_R^* = lab^*a$, $b_R^* = lab^*b$) und absolutes CIELAB Bunttondreiecks-Diagramm: (L^* , C_{ab}^*) für Ein- (---) und Ausgabe (----) NRS18: Eingabe (i) Farbmatrik-Sytem; Sechs Bunttonwinkel des Farbgerätes: (25.5, 92.3, 162.2, 217.0, 271.7, 328.6); Vier Bunttonwinkel der Elementarfarben: (25.5, 92.3, 162.2, 271.7) SRS18: Ausgabe (o) Farbmatrik-Sytem; Sechs Bunttonwinkel des Farbgerätes: (30.0, 90.0, 150.0, 210.0, 270.0, 330.0); Vier Bunttonwinkel der Elementarfarben: (25.5, 92.3, 162.2, 271.7)

Y Gelb

$olv3Mi = 1.0 \ 1.0 \ 0.0$
 $olv3Mo = 0.795 \ 1.0 \ 0.0$
 $LCHMi = 56.7 \ 77.4 \ 92$
 $LCHo = 56.7 \ 77.4 \ 102$
 $tchMi = 0.5 \ 1.0 \ 0.256$
 $tchMo = 0.5 \ 1.0 \ 0.284$

L Laubgrün

$olv3Mi = 0.0 \ 1.0 \ 0.0$
 $olv3Mo = 0.0 \ 1.0 \ 0.37$
 $LCHMi = 56.7 \ 77.4 \ 162$
 $LCHo = 56.7 \ 77.4 \ 172$
 $tchMi = 0.5 \ 1.0 \ 0.451$
 $tchMo = 0.5 \ 1.0 \ 0.478$

C Cyanblau

$olv3Mi = 0.0 \ 1.0 \ 1.0$
 $olv3Mo = 0.0 \ 0.717 \ 1.0$
 $LCHMi = 56.7 \ 77.4 \ 217$
 $LCHo = 56.7 \ 77.4 \ 227$
 $tchMi = 0.5 \ 1.0 \ 0.603$
 $tchMo = 0.5 \ 1.0 \ 0.631$

V Violettblau

$olv3Mi = 0.0 \ 0.0 \ 1.0$
 $olv3Mo = 0.196 \ 0.0 \ 1.0$
 $LCHMi = 56.7 \ 77.4 \ 272$
 $LCHo = 56.7 \ 77.4 \ 282$
 $tchMi = 0.5 \ 1.0 \ 0.755$
 $tchMo = 0.5 \ 1.0 \ 0.783$

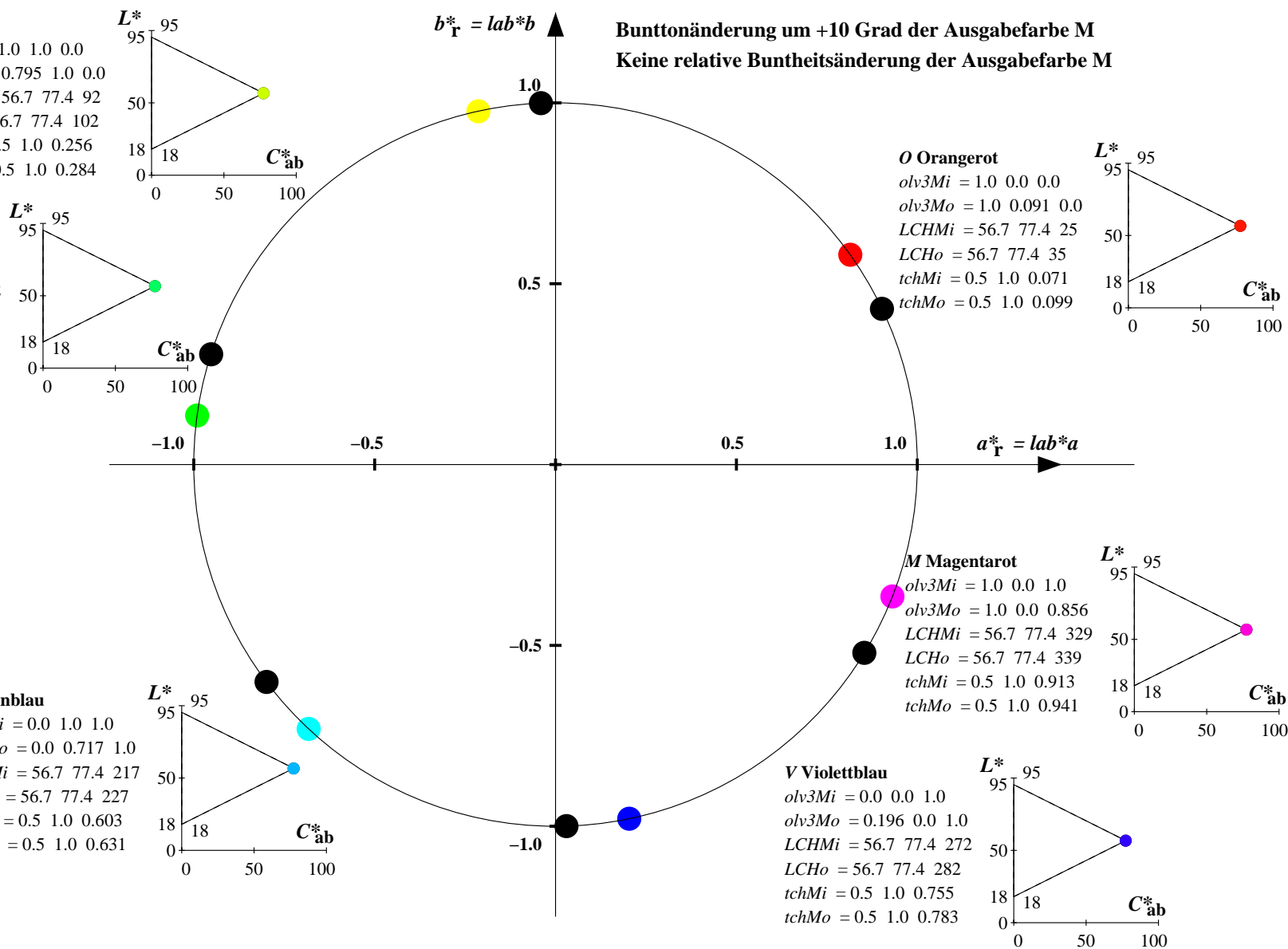
M Magentarot

$olv3Mi = 1.0 \ 0.0 \ 1.0$
 $olv3Mo = 1.0 \ 0.0 \ 0.856$
 $LCHMi = 56.7 \ 77.4 \ 329$
 $LCHo = 56.7 \ 77.4 \ 339$
 $tchMi = 0.5 \ 1.0 \ 0.913$
 $tchMo = 0.5 \ 1.0 \ 0.941$

O Orangerot

$olv3Mi = 1.0 \ 0.0 \ 0.0$
 $olv3Mo = 1.0 \ 0.091 \ 0.0$
 $LCHMi = 56.7 \ 77.4 \ 25$
 $LCHo = 56.7 \ 77.4 \ 35$
 $tchMi = 0.5 \ 1.0 \ 0.071$
 $tchMo = 0.5 \ 1.0 \ 0.099$

Bunttonänderung um +10 Grad der Ausgabefarbe M
Keine relative Buntheitsänderung der Ausgabefarbe M



Relatives CIELAB-Buntheitsdiagramm: ($a_R^* = lab^*a$, $b_R^* = lab^*b$) und absolutes CIELAB Bunttondreiecks-Diagramm: (L^* , C_{ab}^*) für Ein- (---) und Ausgabe (----) NRS18: Eingabe (i) Farbmatrik-Sytem; Sechs Bunttonwinkel des Farbgerätes: (25.5, 92.3, 162.2, 217.0, 271.7, 328.6); Vier Bunttonwinkel der Elementarfarben: (25.5, 92.3, 162.2, 271.7) SRS18: Ausgabe (o) Farbmatrik-Sytem; Sechs Bunttonwinkel des Farbgerätes: (30.0, 90.0, 150.0, 210.0, 270.0, 330.0); Vier Bunttonwinkel der Elementarfarben: (25.5, 92.3, 162.2, 271.7)

Y Gelb

olv3Mi = 1.0 1.0 0.0
olv3Mo = 0.731 0.75 0.25
LCHMi = 56.7 77.4 92
LCHo = 52.2 38.7 92
tchMi = 0.5 1.0 0.256
tchMo = 0.5 0.5 0.256

L Laubgrün

olv3Mi = 0.0 1.0 0.0
olv3Mo = 0.25 0.75 0.352
LCHMi = 56.7 77.4 162
LCHo = 52.2 38.7 162
tchMi = 0.5 1.0 0.451
tchMo = 0.5 0.5 0.451

C Cyanblau

olv3Mi = 0.0 1.0 1.0
olv3Mo = 0.25 0.692 0.75
LCHMi = 56.7 77.4 217
LCHo = 52.2 38.7 217
tchMi = 0.5 1.0 0.603
tchMo = 0.5 0.5 0.603

V Violettblau

olv3Mi = 0.0 0.0 1.0
olv3Mo = 0.265 0.25 0.75
LCHMi = 56.7 77.4 272
LCHo = 52.2 38.7 272
tchMi = 0.5 1.0 0.755
tchMo = 0.5 0.5 0.755

M Magentarot

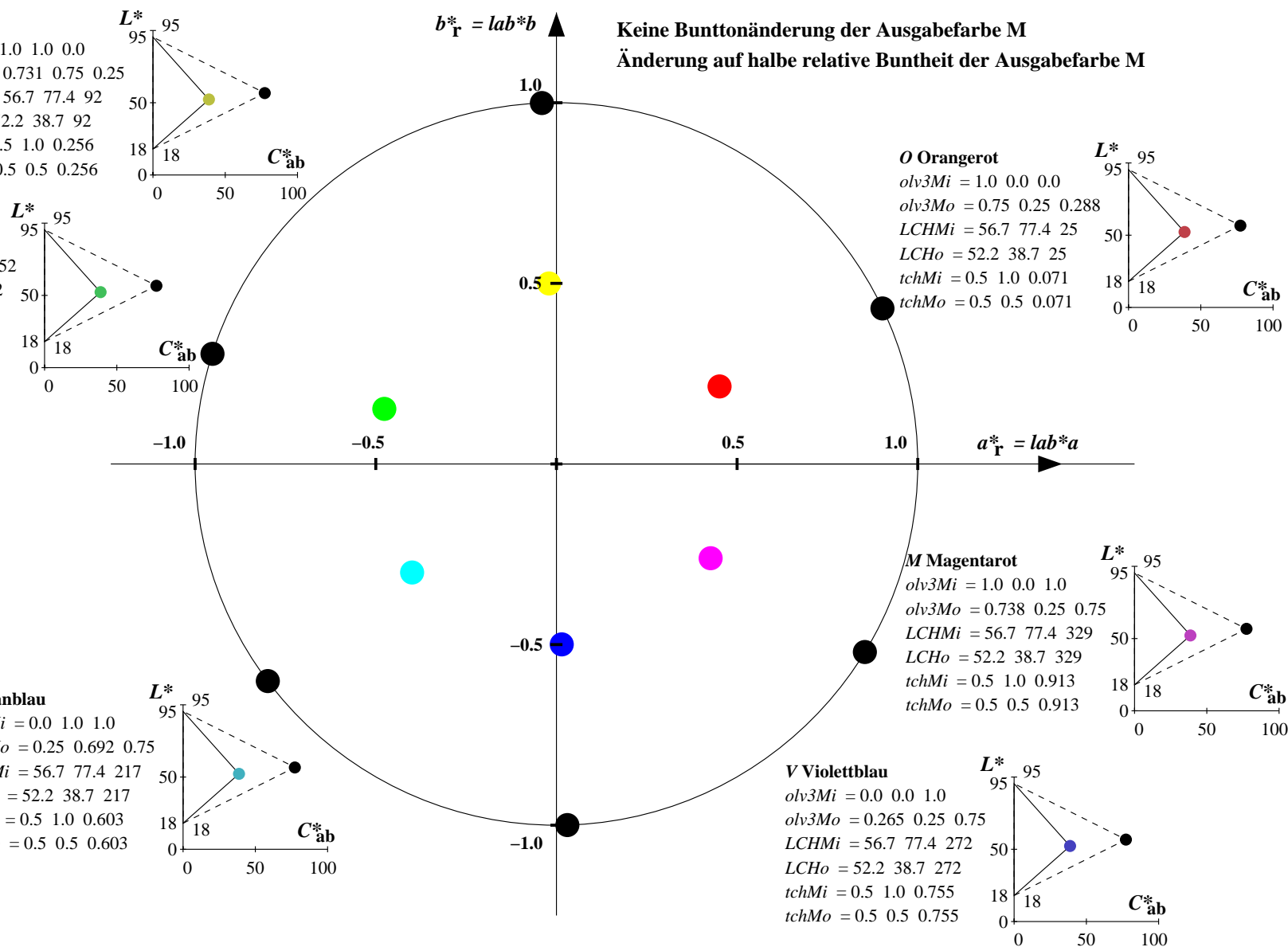
olv3Mi = 1.0 0.0 1.0
olv3Mo = 0.738 0.25 0.75
LCHMi = 56.7 77.4 329
LCHo = 52.2 38.7 329
tchMi = 0.5 1.0 0.913
tchMo = 0.5 0.5 0.913

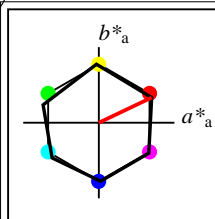
O Orangerot

olv3Mi = 1.0 0.0 0.0
olv3Mo = 0.75 0.25 0.288
LCHMi = 56.7 77.4 25
LCHo = 52.2 38.7 25
tchMi = 0.5 1.0 0.071
tchMo = 0.5 0.5 0.071

Keine Bunttonänderung der Ausgabefarbe M

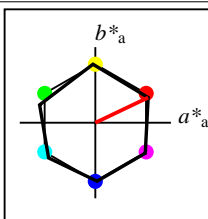
Änderung auf halbe relative Buntheit der Ausgabefarbe M





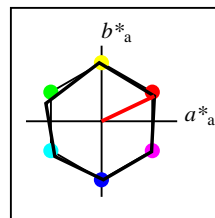
%Umfang
 $u^*_{rel} = 100$
%Regularität
 $g^*_{H,rel} = 78$
 $g^*_{C,rel} = 100$

NRS18	$L^*=L^*_a$	a^*_a	b^*_a	$C^*_{ab,a}$	$h^*_{ab,a}$
O _M	56.71	69.87	33.29	77.4	25
Y _M	56.71	-3.1	77.34	77.4	92
L _M	56.71	-73.68	23.63	77.39	162
C _M	56.71	-61.81	-46.54	77.39	217
V _M	56.71	2.35	-77.34	77.39	272
M _M	56.71	66.07	-40.3	77.4	329
N _M	18.01	0.0	0.0	0.0	0
W _M	95.41	0.0	0.0	0.0	0
R _{CIE}	39.92	58.74	27.99	65.07	25
J _{CIE}	81.26	-2.88	71.56	71.62	92
G _{CIE}	52.23	-42.41	13.6	44.55	162
B _{CIE}	30.57	1.41	-46.46	46.49	272



%Umfang
 $u^*_{rel} = 100$
%Regularität
 $g^*_{H,rel} = 78$
 $g^*_{C,rel} = 100$

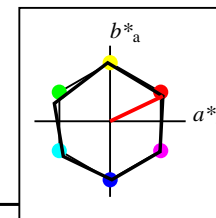
NRS18a; adaptierte CIELAB-Daten	$L^*=L^*_a$	a^*_a	b^*_a	$C^*_{ab,a}$	$h^*_{ab,a}$
O _{Ma}	56.71	69.87	33.29	77.4	25
Y _{Ma}	56.71	-3.1	77.34	77.4	92
L _{Ma}	56.71	-73.68	23.63	77.39	162
C _{Ma}	56.71	-61.81	-46.54	77.39	217
V _{Ma}	56.71	2.35	-77.34	77.39	272
M _{Ma}	56.71	66.07	-40.3	77.4	329
N _{Ma}	18.01	0.0	0.0	0.0	0
W _{Ma}	95.41	0.0	0.0	0.0	0
R _{CIE}	39.92	58.74	27.99	65.07	25
J _{CIE}	81.26	-2.88	71.56	71.62	92
G _{CIE}	52.23	-42.41	13.6	44.55	162
B _{CIE}	30.57	1.41	-46.46	46.49	272



%Umfang
 $u^*_{rel} = 100$
%Regularität
 $g^*_{H,rel} = 78$
 $g^*_{C,rel} = 100$

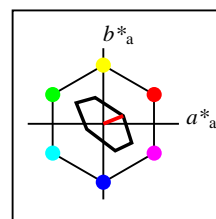
NRS18a; adaptierte CIELAB-Daten	$L^*=L^*_a$	a^*_a	b^*_a	$C^*_{ab,a}$	$h^*_{ab,a}$
O _{Ma}	56.71	69.87	33.29	77.4	25
Y _{Ma}	56.71	-3.1	77.34	77.4	92
L _{Ma}	56.71	-73.68	23.63	77.39	162
C _{Ma}	56.71	-61.81	-46.54	77.39	217
V _{Ma}	56.71	2.35	-77.34	77.39	272
M _{Ma}	56.71	66.07	-40.3	77.4	329
N _{Ma}	18.01	0.0	0.0	0.0	0
W _{Ma}	95.41	0.0	0.0	0.0	0
R _{CIE}	39.92	58.74	27.99	65.07	25
J _{CIE}	81.26	-2.88	71.56	71.62	92
G _{CIE}	52.23	-42.41	13.6	44.55	162
B _{CIE}	30.57	1.41	-46.46	46.49	272

Workflow-Wahlen
für Farbmuster:
1. keine Farbänderung
2. Buntton-Änderung
3. Buntheits-Änderung



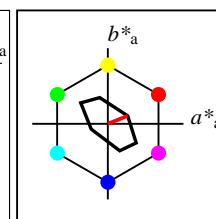
%Umfang
 $u^*_{rel} = 100$
%Regularität
 $g^*_{H,rel} = 78$
 $g^*_{C,rel} = 100$

NRS18a; adaptierte CIELAB-Daten	$L^*=L^*_a$	a^*_a	b^*_a	$C^*_{ab,a}$	$h^*_{ab,a}$
O _{Ma}	56.71	69.87	33.29	77.4	25
Y _{Ma}	56.71	-3.1	77.34	77.4	92
L _{Ma}	56.71	-73.68	23.63	77.39	162
C _{Ma}	56.71	-61.81	-46.54	77.39	217
V _{Ma}	56.71	2.35	-77.34	77.39	272
M _{Ma}	56.71	66.07	-40.3	77.4	329
N _{Ma}	18.01	0.0	0.0	0.0	0
W _{Ma}	95.41	0.0	0.0	0.0	0
R _{CIE}	39.92	58.74	27.99	65.07	25
J _{CIE}	81.26	-2.88	71.56	71.62	92
G _{CIE}	52.23	-42.41	13.6	44.55	162
B _{CIE}	30.57	1.41	-46.46	46.49	272



%Umfang
 $u^*_{rel} = 16$
%Regularität
 $g^*_{H,rel} = 34$
 $g^*_{C,rel} = 51$

TLS70a; adaptierte CIELAB-Daten	$L^*=L^*_a$	a^*_a	b^*_a	$C^*_{ab,a}$	$h^*_{ab,a}$
O _{Ma}	76.43	26.27	10.57	28.32	22
Y _{Ma}	93.93	-10.76	34.63	36.27	107
L _{Ma}	89.32	-35.8	27.64	45.24	142
C _{Ma}	90.93	-21.95	-7.07	23.07	198
V _{Ma}	72.1	15.76	-35.63	38.97	294
M _{Ma}	78.5	37.52	-25.23	45.22	326
N _{Ma}	69.7	0.0	0.0	0.0	0
W _{Ma}	95.41	0.0	0.0	0.0	0
R _{CIE}	39.92	58.74	27.99	65.07	25
J _{CIE}	81.26	-2.88	71.56	71.62	92
G _{CIE}	52.23	-42.41	13.6	44.55	162
B _{CIE}	30.57	1.41	-46.46	46.49	272



%Umfang
 $u^*_{rel} = 16$
%Regularität
 $g^*_{H,rel} = 34$
 $g^*_{C,rel} = 51$

TLS70	$L^*=L^*_a$	a^*_a	b^*_a	$C^*_{ab,a}$	$h^*_{ab,a}$
O _M	76.43	26.27	10.57	28.32	22
Y _M	93.93	-10.76	34.63	36.27	107
L _M	89.32	-35.8	27.64	45.24	142
C _M	90.93	-21.95	-7.07	23.07	198
V _M	72.1	15.76	-35.63	38.97	294
M _M	78.5	37.52	-25.23	45.22	326
N _M	69.7	0.0	0.0	0.0	0
W _M	95.41	0.0	0.0	0.0	0
R _{CIE}	39.92	58.74	27.99	65.07	25
J _{CIE}	81.26	-2.88	71.56	71.62	92
G _{CIE}	52.23	-42.41	13.6	44.55	162
B _{CIE}	30.57	1.41	-46.46	46.49	272

Relatives CIELAB-Buntheitsdiagramm: ($a_R^* = lab^*a$, $b_R^* = lab^*b$) und absolutes CIELAB Bunttondreiecks-Diagramm: (L^* , C_{ab}^*) für Ein- (---) und Ausgabe (----) NRS18: Eingabe (i) Farbmatrik-Sytem; Sechs Bunttonwinkel des Farbgerätes: (25.5, 92.3, 162.2, 217.0, 271.7, 328.6); Vier Bunttonwinkel der Elementarfarben: (25.5, 92.3, 162.2, 271.7)
TLS70: Ausgabe (o) Farbmatrik-Sytem; Sechs Bunttonwinkel des Farbgerätes: (21.9, 107.3, 142.3, 197.9, 293.9, 326.1); Vier Bunttonwinkel der Elementarfarben: (25.5, 92.3, 162.2, 271.7)

Y Gelb

$olv3Mi = 1.0 \ 1.0 \ 0.0$
 $olv3Mo = 1.0 \ 0.825 \ 0.0$
 $LCHMi = 56.7 \ 77.4 \ 92$
 $LCHo = 90.9 \ 34.9 \ 92$
 $tchMi = 0.5 \ 1.0 \ 0.256$
 $tchMo = 0.5 \ 1.0 \ 0.256$

L Laubgrün

$olv3Mi = 0.0 \ 1.0 \ 0.0$
 $olv3Mo = 0.0 \ 1.0 \ 0.358$
 $LCHMi = 56.7 \ 77.4 \ 162$
 $LCHo = 89.9 \ 37.3 \ 162$
 $tchMi = 0.5 \ 1.0 \ 0.451$
 $tchMo = 0.5 \ 1.0 \ 0.451$

C Cyanblau

$olv3Mi = 0.0 \ 1.0 \ 1.0$
 $olv3Mo = 0.0 \ 0.801 \ 1.0$
 $LCHMi = 56.7 \ 77.4 \ 217$
 $LCHo = 87.2 \ 26.2 \ 217$
 $tchMi = 0.5 \ 1.0 \ 0.603$
 $tchMo = 0.5 \ 1.0 \ 0.603$

V Violettblau

$olv3Mi = 0.0 \ 0.0 \ 1.0$
 $olv3Mo = 0.0 \ 0.23 \ 1.0$
 $LCHMi = 56.7 \ 77.4 \ 272$
 $LCHo = 76.4 \ 35.3 \ 272$
 $tchMi = 0.5 \ 1.0 \ 0.755$
 $tchMo = 0.5 \ 1.0 \ 0.755$

M Magentarot

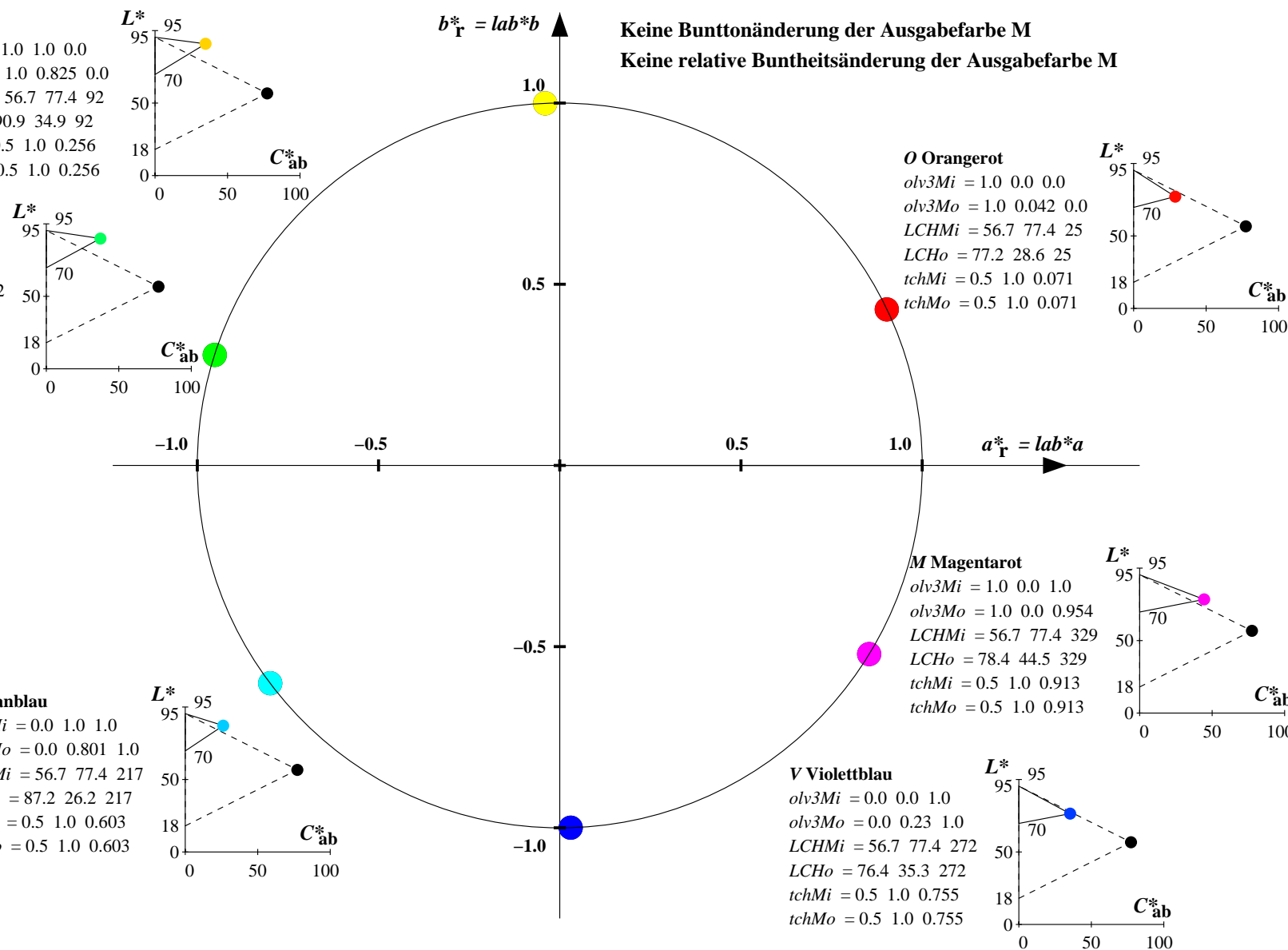
$olv3Mi = 1.0 \ 0.0 \ 1.0$
 $olv3Mo = 1.0 \ 0.0 \ 0.954$
 $LCHMi = 56.7 \ 77.4 \ 329$
 $LCHo = 78.4 \ 44.5 \ 329$
 $tchMi = 0.5 \ 1.0 \ 0.913$
 $tchMo = 0.5 \ 1.0 \ 0.913$

O Orangerot

$olv3Mi = 1.0 \ 0.0 \ 0.0$
 $olv3Mo = 1.0 \ 0.042 \ 0.0$
 $LCHMi = 56.7 \ 77.4 \ 25$
 $LCHo = 77.2 \ 28.6 \ 25$
 $tchMi = 0.5 \ 1.0 \ 0.071$
 $tchMo = 0.5 \ 1.0 \ 0.071$

Keine Bunttonänderung der Ausgabefarbe M

Keine relative Buntheitsänderung der Ausgabefarbe M



Relatives CIELAB-Buntheitsdiagramm: ($a_R^* = lab^*a$, $b_R^* = lab^*b$) und absolutes CIELAB Bunttondreiecks-Diagramm: (L^* , C_{ab}^*) für Ein- (---) und Ausgabe (----) NRS18: Eingabe (i) Farbmatrik-Sytem; Sechs Bunttonwinkel des Farbgerätes: (25.5, 92.3, 162.2, 217.0, 271.7, 328.6); Vier Bunttonwinkel der Elementarfarben: (25.5, 92.3, 162.2, 271.7)
TLS70: Ausgabe (o) Farbmatrik-Sytem; Sechs Bunttonwinkel des Farbgerätes: (21.9, 107.3, 142.3, 197.9, 293.9, 326.1); Vier Bunttonwinkel der Elementarfarben: (25.5, 92.3, 162.2, 271.7)

Y Gelb

olv3Mi = 1.0 1.0 0.0
olv3Mo = 1.0 0.942 0.0
LCHMi = 56.7 77.4 92
LCHo = 92.9 35.8 102
tchMi = 0.5 1.0 0.256
tchMo = 0.5 1.0 0.284

L Laubgrün

olv3Mi = 0.0 1.0 0.0
olv3Mo = 0.0 1.0 0.538
LCHMi = 56.7 77.4 162
LCHo = 90.2 33.3 172
tchMi = 0.5 1.0 0.451
tchMo = 0.5 1.0 0.478

C Cyanblau

olv3Mi = 0.0 1.0 1.0
olv3Mo = 0.0 0.697 1.0
LCHMi = 56.7 77.4 217
LCHo = 85.2 27.9 227
tchMi = 0.5 1.0 0.603
tchMo = 0.5 1.0 0.631

O Orangerot

olv3Mi = 1.0 0.0 0.0
olv3Mo = 1.0 0.159 0.0
LCHMi = 56.7 77.4 25
LCHo = 79.2 29.6 35
tchMi = 0.5 1.0 0.071
tchMo = 0.5 1.0 0.099

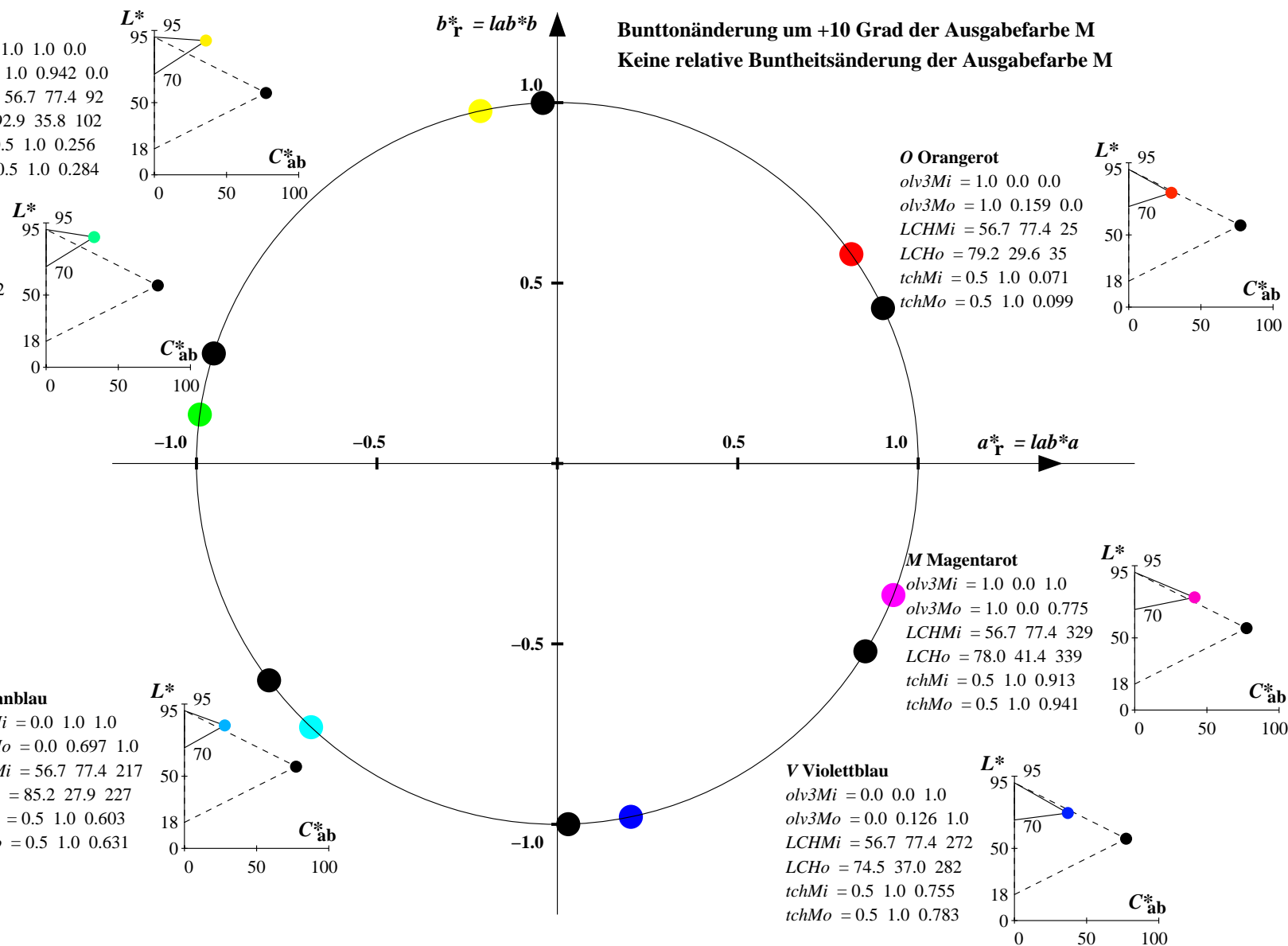
M Magentarot

olv3Mi = 1.0 0.0 1.0
olv3Mo = 1.0 0.0 0.775
LCHMi = 56.7 77.4 329
LCHo = 78.0 41.4 339
tchMi = 0.5 1.0 0.913
tchMo = 0.5 1.0 0.941

V Violettblau

olv3Mi = 0.0 0.0 1.0
olv3Mo = 0.0 0.126 1.0
LCHMi = 56.7 77.4 272
LCHo = 74.5 37.0 282
tchMi = 0.5 1.0 0.755
tchMo = 0.5 1.0 0.783

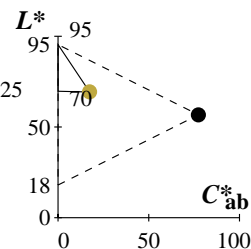
Bunttonänderung um +10 Grad der Ausgabefarbe M
Keine relative Buntheitsänderung der Ausgabefarbe M



Relatives CIELAB-Buntheitsdiagramm: ($a_R^* = lab^*a$, $b_R^* = lab^*b$) und absolutes CIELAB Bunttondreiecks-Diagramm: (L^* , C_{ab}^*) für Ein- (---) und Ausgabe (----) NRS18: Eingabe (i) Farbmatrik-Sytem; Sechs Bunttonwinkel des Farbgerätes: (25.5, 92.3, 162.2, 217.0, 271.7, 328.6); Vier Bunttonwinkel der Elementarfarben: (25.5, 92.3, 162.2, 271.7)
TLS70: Ausgabe (o) Farbmatrik-Sytem; Sechs Bunttonwinkel des Farbgerätes: (21.9, 107.3, 142.3, 197.9, 293.9, 326.1); Vier Bunttonwinkel der Elementarfarben: (25.5, 92.3, 162.2, 271.7)

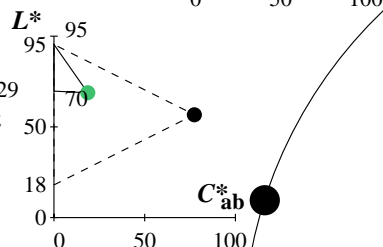
Y Gelb

olv3Mi = 1.0 1.0 0.0
olv3Mo = 0.75 0.662 0.25
LCHMi = 56.7 77.4 92
LCHo = 69.3 17.4 92
tchMi = 0.5 1.0 0.256
tchMo = 0.5 0.5 0.256



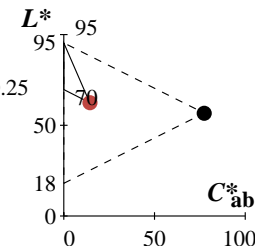
L Laubgrün

olv3Mi = 0.0 1.0 0.0
olv3Mo = 0.25 0.75 0.429
LCHMi = 56.7 77.4 162
LCHo = 68.8 18.7 162
tchMi = 0.5 1.0 0.451
tchMo = 0.5 0.5 0.451



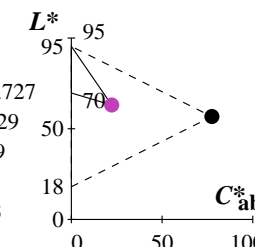
O Orangerot

olv3Mi = 1.0 0.0 0.0
olv3Mo = 0.75 0.271 0.25
LCHMi = 56.7 77.4 25
LCHo = 62.4 14.3 25
tchMi = 0.5 1.0 0.071
tchMo = 0.5 0.5 0.071



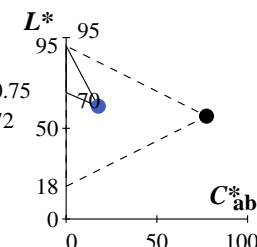
M Magentarot

olv3Mi = 1.0 0.0 1.0
olv3Mo = 0.75 0.25 0.727
LCHMi = 56.7 77.4 329
LCHo = 63.1 22.2 329
tchMi = 0.5 1.0 0.913
tchMo = 0.5 0.5 0.913



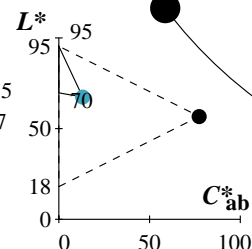
V Violettblau

olv3Mi = 0.0 0.0 1.0
olv3Mo = 0.25 0.365 0.75
LCHMi = 56.7 77.4 272
LCHo = 62.1 17.7 272
tchMi = 0.5 1.0 0.755
tchMo = 0.5 0.5 0.755



C Cyanblau

olv3Mi = 0.0 1.0 1.0
olv3Mo = 0.25 0.65 0.75
LCHMi = 56.7 77.4 217
LCHo = 67.4 13.1 217
tchMi = 0.5 1.0 0.603
tchMo = 0.5 0.5 0.603



Keine Bunttonänderung der Ausgabefarbe M

Änderung auf halbe relative Buntheit der Ausgabefarbe M

Siehe ähnliche Dateien: <http://www.ps.bam.de/YG65/>
Technische Information: <http://www.ps.bam.de> Version 2.1, io=1,1

BAM-Registrierung: 20061101-YG65/10L/L65G50NP.PS/.PDF BAM-Material: Code=rh4ta
Anwendung für Beurteilung und Messung von Drucker- oder Monitorsystemen
/YG65/ Form: 328, Serie: 1/1, Seite: 32 Seite 32/32